

**EKSTRAKSI ZAT WARNA KULIT TERONG UNGU (*Solanium  
melongena* L.) DAN APLIKASI PADA *Dye Sensitized Solar Cell (DSSC)***



**Skripsi**

Diajukan Untuk Memenuhi Salah Satu Syarat Meraih Gelar Sarjana (S1) Pada  
Jurusan Kimia Fakultas Sains dan Teknologi  
UIN Alauddin Makassar

UNIVERSITAS ISLAM NEGERI  
**ALAUDDIN**  
M A K A S S A R

**OLEH**  
**HALISA**  
**60500113070**

**JURUSAN KIMIA**  
**FAKULTAS SAINS DAN TEKNOLOGI**  
**UNIVERSITAS ISLAM NEGERI ALAUDDIN MAKASSAR MAKASSAR**  
**2018**

## LEMBAR PERNYATAAN KEASLIAN SKRIPSI

Mahasiswa yang bertanda tangan dibawah ini:

Nama : Halisa  
NIM : 60500113070  
Tempat/Tgl Lahir : Sebatik/ 26 Oktober 1994  
Jurusan : Kimia  
Fakultas : Sains dan Teknologi  
Alamat : Jl Bontomanai Kel.pa'baeng-baeng Makassar  
Judul : Ekstraksi Zat Warna Kulit Terong Ungu (*Solanium melongena*  
L) dan Aplikasi pada *Dye Sensitized Solar Cell* (DSSC)

Menyatakan dengan sesungguhnya dan penuh kesadaran bahwa skripsi ini benar adalah hasil karya sendiri. Jika dikemudian hari terbukti bahwa skripsi merupakan duplikat, tiruan, plagiat atau dibuat oleh orang lain. Sebagian atau seluruhnya, maka skripsi dan gelar yang diperoleh karenanya batal demi hukum.

Samata, Maret 2018

UNIVERSITAS ISLAM NEGERI  
**ALAUDDIN**  
M A K A S S A R

Penyusun



**HALISA**  
**NIM: 60500113070**

## PENGESAHAN SKRIPSI

Skripsi yang berjudul “**ekstraksi zat warna kulit terong ungu (*Solanium melongena* L) dan aplikasi pada *dye sensitized solar cell* (DSSC)**” yang disusun oleh **Halisa, NIM: 60500113070**, mahasiswa Jurusan Kimia pada Fakultas Sains dan Teknologi UIN Alauddin Makassar, telah diuji dan dipertahankan dalam sidang munaqasyah yang diselenggarakan pada hari Rabu tanggal 28 Maret 2018 bertepatan dengan 10 Rajab 1439 H, dinyatakan telah dapat diterima sebagai salah satu syarat untuk memperoleh gelar sarjana dalam Ilmu Kimia, Jurusan Kimia (dengan beberapa perbaikan).

Samata-Gowa, **28 Maret 2018 M**  
**10 Rajab 1439 H**

### DEWAN PENGUJI

Ketua	: Dr. Hj. Wasilah, S. T., M. T	(.....)
Sekretaris	: Dra. Sitti. Chadijah, M.Si	(.....)
Munaqisy I	: Dr. H. Asri Saleh, S. T., M.Si	(.....)
Munaqisy II	: Dr. Aan Parhani, Lc., M.Ag	(.....)
Pembimbing I	: Aisyah, S.Si., M.S.i	(.....)
Pembimbing II	: Suriani, S.Si., M.Si	(.....)

Diketahui oleh:  
Dekan Fakultas Sains dan Teknologi  
UIN Alauddin Makassar,



**Prof. Dr. Arifuddin, M.Ag**  
**NIP. 19691205 199303 1 001**

## KATA PENGANTAR



Puji dan syukur kehadiran Allah swt. Yang telah memberikan segala petunjuknya, memberikan segala kenikmatanNya yang tak ada habisnya serta bimbingan dari dosen pembimbing sehingga penulis dapat menyelesaikan skripsi yang berjudul “Ekstraksi Zat Warna Kulit Terong Ungu (*Solanum Melongona* L) dan aplikasi pada *dye sensitized solar cell* (DSSC)” dan shalawat serta salam selalu terhaturkan kepada guru besar. Murobbi besar baginda Rasullah saw. beserta keluarga para sahabat.

Maksud dari penyusunan skripsi ini guna untuk memenuhi salah satu persyaratan dalam menyelesaikan studi di tingkat sarjana pada Jurusan Kimia Fakultas Sains dan Teknologi UIN Alauddin Makassar. Penulis menyadari bahwa selesainya skripsi ini tak terlepas dari bantuan dan dorongan dari berbagai pihak yang dengan ikhlas telah membantu penulis dalam menyelesaikan skripsi ini. Ucapan terima kasih penulis ucapkan kepada kedua orang tua, Herman dan Hj. Saharia serta seluruh keluarga yang tiada hentinya memberikan dukungan baik secara moral maupun materi, mendoakan serta memberi motivasi yang tak ternilai harganya. Semoga Allah swt. memberikan keridahanNya, memberikan segala kenikmatanNya dan perlindunganNya. Aamiin.

Pada kesempatan ini penulis ingin menghaturkan terima kasih yang tulus kepada:

1. Bapak Prof. Dr. H. Musafir Pabbabari, M.Si., selaku Rektor UIN Alauddin Makassar.
2. Bapak Prof. Dr. H Arifuddin, M.Ag., selaku Dekan Fakultas Sains dan Teknologi UIN Alauddin Makassar
3. Ibu Sjamsiah, S.Si., M.Si., Ph.D., selaku Ketua Jurusan Kimia Fakultas Sains dan Teknologi UIN Alauddin Makassar.
4. Ibu Dr. Rismawaty Sikanna, S.Si., M.Si., selaku Sekretaris Jurusan Kimia Fakultas Sains dan Teknologi UIN Alauddin Makassar
5. Ibu Aisyah, S.Si., M.Si., dan Ibu Suriani, S.Si., M.Si., sebagai Pembimbing I dan Pembimbing II atas segala bimbingan dan bantuan yang diberikan selama penelitian berlangsung sehingga selalu membuka pemikiran penulis dalam menyelesaikan penelitian dan skripsi ini.
6. Bapak Dr. H.Asri Saleh, S.T., M.Si., dan Bapak Dr. Aan Parhani, Lc., M.Ag., selaku Penguji I dan Penguji II yang berkenan memberikan kritik dan saran bagi penulis.
7. Bapak Iswadi, S.Pd., M.Si., atas segala bimbingan dan ilmunya selama penelitian berlangsung.
8. Segenap Dosen jurusan Kimia dan seluruh staf serta karyawan Fakultas Sains dan Teknologi UIN Alauddin Makassar yang dengan sabar mendidik dan memberikan ilmu kepada penulis.
9. Seluruh Laboran Jurusan Kimia Fakultas Sains dan Teknologi UIN Alauddin Makassar. Terkhusus buat Nuraini, S.Si., selaku Laboran di Laboratorium Organik atas segala kesabaran dan waktu selama proses penelitian berlangsung.

10. Teman-teman OSC 2013 ( Nirma Nasir Putri, Kurnia Arini Putri, Wahida Febria Ramadani, Muharam Bapalasang, Nuramnisa dan Jusnia) dan kakak-kakak OSC 2011 yang telah banyak membantu penulis dalam proses penyusunan skripsi dari awal sampai selesai.
11. Teman-teman Angkatan 2013 Jurusan Kimia Fakultas Sains dan Teknologi UIN Alauddin Makassar..
12. Kepada semua pihak yang tidak dapat disebutkan satu per satu, atas bantuannya dalam penyelesaian tugas akhir ini.

Akhir kata penulis, semoga Skripsi ini bermanfaat bagi semua kalangan terutama buat penulis sendiri.

Samata, Februari 2018

Penulis

Halisa  
NIM. 60500113070

UNIVERSITAS ISLAM NEGERI  
**ALAUDDIN**  
M A K A S S A R

## DAFTAR ISI

<b>HALAMAN JUDUL .....</b>	<b>i</b>
<b>LEMBAR KEASLIAN SKRIPSI .....</b>	<b>ii</b>
<b>LEMBAR PENGESAHAN.....</b>	<b>iii</b>
<b>KATA PENGANTAR.....</b>	<b>iv-vi</b>
<b>DAFTAR ISI .....</b>	<b>vii-viii</b>
<b>DAFTAR TABEL .....</b>	<b>ix</b>
<b>DAFTAR GAMBAR.....</b>	<b>x</b>
<b>ABSTRAK.....</b>	<b>xi</b>
<b>ABSTRACT.....</b>	<b>xii</b>
<b>BAB I PENDAHULUAN .....</b>	<b>1-6</b>
A. Latar Belakang .....	1
B. Rumusan Masalah .....	5
C. Tujuan Penelitian .....	5
D. Manfaat Penelitian.....	6
<b>BAB II TINJAUAN PUSTAKA .....</b>	<b>7-26</b>
A. Matahari sebagai Energi Alternatif .....	7
B. Sel Surya .....	11
C. <i>Dye Sensitized Solar Cell (DSSC)</i> .....	13
D. Zat Warna Alami ( <i>Natural Dye</i> ) .....	17
E. Terong Ungu ( <i>Solanum Melongena L</i> ).....	20
F. Metode Ekstraksi.....	22
G. Karakterisasi Zat Warna .....	23



H. <i>Scanning Electron Microscopy (SEM)</i> .....	25
<b>BAB III METODOLOGI PENELITIAN .....</b>	<b>27-30</b>
A. Lokasi dan Waktu Penelitian .....	27
B. Alat dan Bahan Penelitian .....	27
C. Prosedur Kerja.....	28
<b>BAB IV HASIL DAN PEMBAHASAN.....</b>	<b>31-43</b>
A. Hasil dan Pengamatan .....	31-33
B. Pembahasan .....	33-44
<b>BAB V.....</b>	<b>45</b>
A. Kesimpulan .....	45
B. Saran.....	45
<b>DAFTAR PUSTAKA.....</b>	<b>45-49</b>
<b>LAMPIRAN-LAMPIRAN.....</b>	<b>50-80</b>
<b>BIOGRAFI.....</b>	<b>81</b>



**DAFTAR TABEL**

Tabel IV.1 Pengukuran nilai efisiensi ekstrak murni, ekstrak yang terstabilkan pada pH 2, TiO <sub>2</sub> yang terstabilkan dengan variasi waktu .....	32
Tabel IV.2 Uji skrining fitokimia .....	32
Tabel IV.3 Analisis UV-Vis .....	32
Tabel IV.4 Analisis FTIR .....	33
Tabel IV.5 Nilai efisiensi ekstrak kulit terong ungu yang terstabilkan .....	37
Tabel IV.6 Nilai efisiensi ekstrak kulit terong ungu dan TiO <sub>2</sub> yang terstabilkan .....	38

**DAFTAR GAMBAR**

Gambar II.1 Sistem Pengukuran sel surya .....	11
Gambar II.2 Struktur Solar sel silikon .....	12
Gambar II.3 Struktur DSSC .....	13
Gambar II.4 Skema kerja DSSC .....	15
Gambar II.5 Struktur Antosianin .....	18
Gambar II.6 Struktur Klorofil .....	20
Gambar II.7 Terong Ungu .....	22
Gambar II.8 Scaning Electron Microskopy TiO <sub>2</sub> .....	26
Gambar IV.1 Ekstrak Kulit Teong Ungu Penambahan Bufer .....	34
Gambar IV.2 Rangkaian DSSC .....	35
Gambar IV.3 Sel DSSC .....	35
Gambar IV.4 Rangkaian pengukuran nilai efesiensi .....	37
Gambar IV.5 Hasil Analisis UV-Vis .....	41
Gambar IV.6 Hasil Analisis FTIR .....	42
Gambar IV.7 Analisis SEM .....	44

## ABSTRAK

Nama : Halisa

NIM : 60500113070

Judul Skripsi : Ekstraksi Zat Warna Kulit Terong Ungu (*Solanum Melongena* L)  
Untuk Aplikasi Pada *Dye Sensitized Solar Cell* (DSSC)

---

*Dye sensitized Solar Cell* (DSSC) adalah energi alternatif dengan memanfaatkan cahaya matahari. Selain itu DSSC merupakan sel surya berbasis fotoelektrokimia. Pada penelitian ini menggunakan kulit terong ungu sebagai sumber zat warna alami. Penelitian ini bertujuan untuk mengetahui nilai efisiensi DSSC dengan menggunakan zat warna dan semikonduktor yaitu  $\text{TiO}_2$  yang terstabilkan. Zat warna diperoleh dari hasil ekstraksi menggunakan HCL 10% dan pelarut metanol dengan metode maserasi selama empat hari. Zat warna yang distabilkan dengan bervariasi pH antara 2,4,6,8. Semikonduktor  $\text{TiO}_2$  distabilkan dengan menggunakan polivinil alkohol. Nilai konversi energi matahari menjadi energi listrik paling tinggi dihasilkan oleh ekstrak zat warna kulit terong ungu pH 2 sebesar 0,71%. Karakterisasi zat warna yang dilakukan menggunakan analisis UV-Vis pH 2 diperoleh panjang gelombang 288 nm, FTIR diperoleh beberapa jenis ikatan yaitu Ar-OH, C-H, dan C=C serta uji skrining fitokimia diperoleh senyawa golongan flavonoid dan alkaloid.

**Kata Kunci** : DSSC, efisiensi, stabilitas zat warna, sel surya, *Solanium melongena* L.

**ABSTRACT**

*Name* : Halisa

*NIM* : 60500113070

*Thesis Title* : *Extraction Dye Of Eggplant Skin (Solanium melongena L) For Application On Dye Sensitized Solar Cell*

---

*Dye sensitized Solar Cell (DSSC) is an alternative energy by utilizing sunlight. In addition DSSC is a photoelectrochemical-based solar cell. In this study purple eggplant skin used as a source of natural dyes. This study aims to determine the value of DSSC efficiency by using dyes and semiconductors TiO<sub>2</sub> is stabilized. The color is obtained from the extraction using HCL 10% and methanol solvent with maseration method for four days. The dye is stabilized by varying the pH between 2,4,6,8. The TiO<sub>2</sub> semiconductor is stabilized by using polyvinyl alcohol. The value of solar energy conversion to the highest electrical energy produced by purple eggplant extract pH 2 pH of 0.71%. The dye characterization was done using UV-Vis analysis pH 2 obtained 288 nm wavelength, FTIR obtained some type of bond that is Ar-OH, C-H, and C = C and phytochemical screening test of compound of flavonoid and alkaloid group.*

**Keywords** : *DSSC, efficiency, dyestuff stability, solar cell and Solanium melongena L*

## **BAB I**

### **PENDAHULUAN**

#### **A. Latar Belakang**

Ketersediaan energi di dunia saat ini menjadi salah satu tantangan besar bagi pemenuhan kebutuhan energi masa depan. Energi memiliki peranan yang sangat penting dalam segala aspek kehidupan. Namun kebutuhan ketersediaan energi yang terus meningkat mempengaruhi persediaan sumber energi fosil, yang selama ini menjadi salah satu sumber energi utama. Biasanya energi ini diperoleh dari minyak, gas bumi dan berbagai macam sumber energi fosil lainnya. Eksplorasi sumber energi fosil yang tidak terencana dapat mengakibatkan pengikisan dari alam yang nantinya akan menyebabkan kerusakan alam dan terjadinya pemanasan global sehingga berdampak pada kehidupan manusia itu sendiri.

Seiring dengan terus meningkatnya populasi manusia di Indonesia penggunaan energi listrik sebagai energi primer secara terus menerus dapat menciptakan masalah yang baru. Seperti yang diketahui pasokan kebutuhan energi listrik di Indonesia saat ini masih rawan krisis. Hal ini ditandai dengan seringnya terjadi pemadaman listrik secara bergilir. Selain itu daerah yang terdapat di wilayah Indonesia masih banyak yang belum mendapatkan pasokan energi listrik, terutama wilayah pulau terpencil dan terisolasi. Upaya yang dapat dilakukan untuk mengatasi tantangan ini adalah dengan adanya energi terbarukan yang dapat mendukung ketersediaan sumber energi listrik.

Energi terbarukan merupakan energi yang tidak dapat habis, sehingga dimanfaatkan secara terus menerus. Beberapa contoh energi terbarukan yang dapat

dimanfaatkan saat ini adalah energi tenaga angin, tenaga air dan energi matahari. Salah satu energi yang paling potensial untuk dimanfaatkan sebagai energi terbarukan adalah energi matahari. Posisi letak geografis Indonesia yang berada di bawah garis khatulistiwa menciptakan iklim tropis yang memungkinkan untuk pemanfaatan energi matahari sepanjang tahun (Hardeli dkk, 2013)

Energi matahari diperoleh dari radiasi sinar elektromagnetik yang dipancarkan matahari. Matahari merupakan bintang yang paling dekat dengan bumi dan menyediakan energi yang dibutuhkan oleh kehidupan di bumi secara terus menerus. Terkait dengan energi matahari, Allah swt. berfirman dalam QS. Nuh/71: 16.

وَجَعَلَ الْقَمَرَ فِيهِنَّ نُورًا وَجَعَلَ الشَّمْسَ سِرَاجًا ﴿١٦﴾

Terjemahnya:

“Dan Allah menciptakan padanya bulan sebagai cahaya dan menjadikan matahari sebagai pelita?” (Kementrian Agama RI, 2012).

Tafsir Al-Misbah menjelaskan tentang ayat tersebut: Dia menjadikanNya matahari sebagai pelita setelah sebelumnya menyatakan bahwa Dia menjadikan padaNya bulan sebagai *nur* mengisyaratkan adanya perbedaan antara matahari dan bulan. Matahari dijadikan Allah swt. bagaikan pelita, yakni memiliki pada dirinya sendiri sumber cahaya, sedangkan bulan tidak dijadikannya pelita kendati dia bercahaya. Ini berarti bulan bukanlah planet yang memiliki cahaya pada dirinya sendiri, tetapi ia memantulkan cahaya, berbeda dengan matahari (Shihab, 2002: 351).

Ayat di atas dapat disimpulkan bahwa Allah swt. menciptakan matahari tidak hanya untuk membedakan antara malam dan siang, tetapi matahari juga dapat dimanfaatkan sebagai sumber energi untuk kehidupan manusia.

Sel surya bekerja menggunakan energi matahari dengan mengkonversi secara langsung radiasi matahari menjadi listrik (Subandi dan Slamet, 2015). Indonesia merupakan salah satu negara di dunia yang memiliki iklim tropis oleh sebab itu sel surya sangat cocok untuk dikembangkan menjadi salah satu sumber energi untuk masa depan. Sel surya yang paling banyak digunakan saat ini adalah sel surya berbasis silikon yang mana sel surya ini dikembangkan dari hasil teknologi semikonduktor elektronik. Sel surya berbasis silikon ini harga produksi silikon yang begitu mahal membuat konsumsinya akan menanggung biaya lebih besar dibandingkan dengan sumber energi berbasis bahan bakar fosil (Hasyim dkk, 2014).

Kelemahan yang dimiliki sel surya berbasis silikon mendorong para peneliti mempertimbangkan untuk mengembangkan jenis sel surya terbaru yaitu *Dye Sensitive solar cell* (DSSC). DSSC merupakan salah satu solusi potensial untuk generasi kedepan sel surya jenis ini memiliki beberapa keunggulan jika dibandingkan dengan sel surya sebelumnya yaitu sel surya berbasis silikon. Salah satu kelebihanannya yaitu biaya produksinya yang lebih murah dan relatif rendah (Sahat dan Diah, 2012: 81). Namun kelemahan dari sel surya jenis ini adalah nilai efisiensi yang rendah. Hal ini disebabkan karena sensitifitas zat warna yang digunakan (Setiadji, 2015: 207).

Parameter kemampuan DSSC mengkonsumsi energi matahari menjadi energi listrik disebut sebagai nilai efisiensi. Nilai efisiensi DSSC saat ini masih sangat rendah jika dibandingkan dengan sel surya berbasis silikon. Salah satu komponen utama dari DSSC adalah zat warna. Zat warna inilah yang nantinya berperan untuk membantu proses penguapan radiasi foton melalui sinar matahari. Sinar foton diubah menjadi pendonor elektron dalam proses kerja DSSC (Maya dan Gontjang, 2012).



Zat warna ini dapat diperoleh dari bahan-bahan alam seperti hewan maupun tumbuhan misalnya pada terong ungu. Tanaman terong ungu selain sebagai pangan, juga berpotensi sebagai sumber zat warna pada. Kulit terong ungu memiliki kandungan antosianin yang memberikan warna pada Terong tersebut (Rukmini, 2012)

Pada penelitian sebelumnya, zat warna yang terdapat pada bagian-bagian tumbuhan telah dimanfaatkan sebagai *Photosensitizer* pada DSSC. Misalnya Nur Fatonah dkk (2016) telah melakukan penelitian dengan uji stabilitas zat warna menggunakan ekstrak buah senggani jenis antosianin. Ekstraksi dilakukan dengan maserasi menggunakan 4 jenis pelarut yaitu metanol-asam sitrat 3%, metanol-HCl 1%, akuades-asam sitrat 3% dan akuades-HCl 1%. Uji stabilitas dilakukan pada berbagai kondisi dengan mengukur perubahan absorbansi menggunakan spektrofotometer UV-Vis. Uji stabilitas terhadap suhu penyimpanan didapatkan pada suhu penyimpanan 15°C selama 2 hari terjadi penurunan persentase absorbansi sebesar 8,9 %. Kondisi pH mempengaruhi stabilitas antosianin, pada pH 3 terjadi kenaikan persentase absorbansi sedangkan pH 4,5,6,7,8 terjadi penurunan persentase absorbansi. Nur Hasbi Wahab (2016) telah melakukan penelitian menggunakan Tumbuhan yang satu famili dengan Terong ungu yaitu tomat dengan menggunakan eluen metanol:n-heksan (3:7, 1:1, 7:3). Dari hasil penelitiannya, diperoleh nilai efisiensi tertinggi yaitu 0,0249% dengan eluen 1:1. Septina dkk (2007) telah melakukan penelitian menggunakan *dye* jenis antosianin pada buah delima dan semikonduktor nano TiO<sub>2</sub> dengan menggunakan metode sol-gel dengan bantuan blok kopolimer sebagai templat pori. Dari pengujian absorpsi cahaya diperoleh panjang gelombang 564 nm.

Berdasarkan uraian latar belakang diatas maka dilakukanlah penelitian ini, yaitu untuk mengetahui nilai efisiensi DSSC (*Dye Sensitized Solar Cell*) dari ekstrak kulit terong ungu yang terstabilkan secara kimia dan secara fisika.

#### **A. Rumusan Masalah**

Rumusan masalah dari penelitian ini, yaitu:

1. Berapa nilai efisiensi *Dye Sensitized Solar Cell* (DSSC) yang menggunakan ekstrak metanol kulit Terong Ungu sebagai *dye sensitizer*?
2. Berapa nilai efisiensi *Dye Sensitized Solar Cell* (DSSC) yang menggunakan ekstrak metanol kulit Terong Ungu yang terstabilkan sebagai *dye sensitizer*?
3. Berapa nilai efisiensi *Dye Sensitized Solar Cell* (DSSC) yang menggunakan ekstrak metanol kulit Terong Ungu sebagai *dye sensitized* dan  $\text{TiO}_2$  yang terstabilkan?

#### **B. Tujuan penelitian**

Tujuan penelitian ini, yaitu:

1. Menentukan nilai efisiensi *Dye Sensitized Solar Cell* (DSSC) yang menggunakan ekstrak metanol kulit Terong Ungu sebagai *dye sensitizer*
2. Menentukan nilai efisiensi *Dye Sensitized Solar Cell* (DSSC) yang menggunakan ekstrak metanol kulit Terong Ungu yang terstabilkan sebagai *dye sensitized*
3. Menentukan nilai efisiensi *Dye Sensitized Solar Cell* (DSSC) yang menggunakan ekstrak metanol kulit Terong Ungu sebagai *dye sensitized* dan  $\text{TiO}_2$  yang terstabilkan

#### ***D. Manfaat Penelitian***

Manfaat dari penelitian ini, yaitu:

1. Mampu memberikan informasi mengenai hubungan kandungan senyawa yang terdapat pada ekstrak kulit terong ungu terhadap nilai efisiensi DSSC dalam mengkonversi energi matahari menjadi energi listrik
2. Memberikan informasi mengenai nilai efisiensi DDSC yang dihasilkan menggunakan ekstrak metanol Kulit Terong Ungu.
3. Mengetahui pembuatan DSSC sebagai sarana pemanfaatan energi dari sinar matahari.



## BAB II

### TINJAUAN PUSTAKA

#### A. Matahari Sebagai Energi Alternatif

Energi merupakan salah satu hal yang penting yang di hadapi dibelahan bumi. Prof. Richard dari *Rice University*, telah melakukan penelitian dengan mensurvei mengenai energi yang akan dihadapi oleh manusia sekitar 50 tahun kedepan telah mencapai kedudukan yang pertama (Richard, 2005)

Energi matahari merupakan energi yang tidak dapat habis dan keberadaannya di bumi menjadi salah satu hal yang tidak dapat di gantikan. Energi matahari dapat di konversi dalam tiga bentuk energi yaitu energi listrik, gas dan panas. Selain sebagai sumber energi matahari juga sebagai sumber cahaya. Matahari memiliki sumber cahaya sendiri dari reaksi nuklir di dalamnya dengan membakar hidrogen.

Cahaya memiliki sifat bergerak yang dapat merambat tanpa memerlukan zat perantara sehingga dapat merambat ke segala arah, bahkan dapat merambat ke dalam ruang angkasa. Cahaya diciptakan oleh Allah swt. untuk semua makhluknya baik di bumi maupun di langit, seperti yang telah dijelaskan dalam firman Allah swt. QS. Al-Furqan/25: 61.

تَبَارَكَ الَّذِي جَعَلَ فِي السَّمَاءِ بُرُوجًا وَجَعَلَ فِيهَا سِرَاجًا وَقَمَرًا مُنِيرًا ﴿٦١﴾

Terjemahnya:

“Maha Suci Allah yang menjadikan di langit gugusan-gugusan bintang dan Dia juga menjadikan padanya matahari dan bulan yang bercahaya” (Kementrian Agama RI, 2012).

Tafsir Al-Misbah menjelaskan tentang ayat tersebut, ayat ini menjelaskan bahwa Maha melimpah anugerah al-Rahman yaitu Dia yang menjadikan di langit gugus-gugus bintang dan di antara gugusan bintang itu Dia menciptakan garis orbit tempatnya beredar dan Dia menjadikan juga padanya *siraj* yakni pelita yang terang benderang, yaitu matahari yang bersinar dan bulan yang bercahaya. Seperti halnya bintang matahari bersinar dengan sendirinya karena interaksi atom yang ada di dalamnya. Sinar matahari yang timbul dari energi tersebut jatuh ke planet seperti bumi, bulan dan benda-benda langit lainnya yang tidak dapat bersinar karena bersifat menyinari. Matahari disebut sebagai *siraj* (Shihab, 2002: 135). Untuk mengetahui lebih dalam mengenai tafsir ayat diatas Allah menjelaskanNya dalam ayat lain yaitu QS. Yunus/10: 5

هُوَ الَّذِي جَعَلَ الشَّمْسَ ضِيَاءً وَالْقَمَرَ نُورًا وَقَدَرَهُ مَنَازِلَ لِتَعْلَمُوا عَدَدَ السِّنِينَ وَالْحِسَابَ مَا خَلَقَ اللَّهُ ذَلِكَ إِلَّا بِالْحَقِّ يُفَصِّلُ الْآيَاتِ لِقَوْمٍ يَعْلَمُونَ ﴿٥﴾

Terjemahnya:

Dia-lah yang menjadikan matahari bersinar dan bulan bercahaya dan ditetapkan-Nya manzilah-manzilah (tempat-tempat) bagi perjalanan bulan itu, supaya kamu mengetahui bilangan tahun dan perhitungan (waktu). Allah tidak menciptakan yang demikian itu melainkan dengan hak. Dia menjelaskan tanda-tanda (kebesaran-Nya) kepada orang-orang yang mengetahui (Kementrian Agama RI, 2012).

Tafsir Al-Misbah menjelaskan tentang ayat tersebut: Bahwa ayat ini menamai sinar matahari atau *dhiya'* karena cahayanya yang menghasilkan panas dan kehangatan, sedangkan kata *nur* memberikan arti cahaya yang tidak terlalu besar dan juga tidak menghasilkan kehangatan. Jadi dapat disimpulkan bahwa sinar matahari bersumber dari dirinya sendiri dan cahaya bulan pantulan. Disisi lain kata *dhiya'* dapat

dipahami dalam arti jamak maupun tunggal. Ini mengisyaratkan bahwa sinar matahari bermacam macam walaupun sumbernya hanya satu. Bila dipahami sebagai tunggal, ia menunjukkan kepada sumber sinar itu, dan pada saat anda melihatnya merah ketika ia akan tenggelam, kelihatan kuning di siang hari, dan warna warna lainnya. Pelangi atau lengkung spektrum yang tampak di langit akibat pembiasan sinar matahari oleh titik titik hujan atau embun menghasilkan tujuh pancaran warna yang berbeda beda.

Ayat ini salah satu bukti keesaan Allah swt. dalam *rububiyah* Nya (pemeliharaanNya) terhadap manusia. Ayat ini menekankan bahwa Allah swt. yang menciptakan matahari dan bulan seperti yang di jelaskan di atas sehingga, dengan demikian manusia bahkan seluruh makhluk di planet ini memperoleh manfaat yang tidak sedikit guna kelangsungan dan kenyamanan hidup mereka. Pengaturan sistem itu serta tujuan yang diharapkan darinya adalah *haq*. Dengan demikian, ia bukan kebetulan bukan pula diciptakan tanpa tujuan. Dan dengan demikian pula, manusia harus menjadikan dan menggunakannya untuk tujuan yang *haq* dan benar pula (Shihab, 2002: 333)

Ayat tersebut dapat disimpulkan bahwa Allah swt. menerangkan dengan jelas dalam alqur'an tentang bagaimana penciptaanNya terhadap matahari. Allah swt. menciptakan matahari tidak hanya untuk membedakan anatara kapan matahari itu bersinar dan untuk membedakan antara matahari dan bulan, Allah menciptakan sesuatu pasti ada tujuan dan manfaatnya. Selain dari itu matahari itu sendiri memiliki banyak sekali manfaat dalam kehidupan makhluk hidup terutama dalam kehidupan manusia yang mana cahaya matahari dapat dimanfaatkan sebagai sumber energi terbarukan untuk menggantikan pemanfaatan energi fosil secara berlebihan

Energi matahari (Surya) di Indonesia sangat melimpah. Hal ini menjadi salah satu peluang yang besar untuk menjadikan energi matahari sebagai energi alternatif. Selain itu energi matahari merupakan energi yang tidak ada habisnya. Dengan menjadikan energi matahari sebagai energi alternatif maka permasalahan yang nantinya akan dihadapi bisa teratasi seperti penggunaan energi fosil secara yang berlebihan akan mengakibatkan penipisan dialam sehingga dapat menimbulkan terjadinya bencana (Hendra dkk, 2014)

Pembatasan penggunaan energi fosil secara terus menerus dibutuhkan adanya solusi. Jika melihat dari potensi yang ada dari energi terbarukan seperti energi surya, energi air, biomassa, panas bumi, energi angin dan juga energi samudera akan menjadi solusi untuk menutupi penggunaan energi fosil yang terus meningkat, mengakibatkan terjadinya penipisan pada energi tersebut. Selain itu juga dapat memenuhi kebutuhan energi yang terus bertambah dengan meningkatnya populasi manusia di dunia (Rohmat dan Ari, 2012: 2)

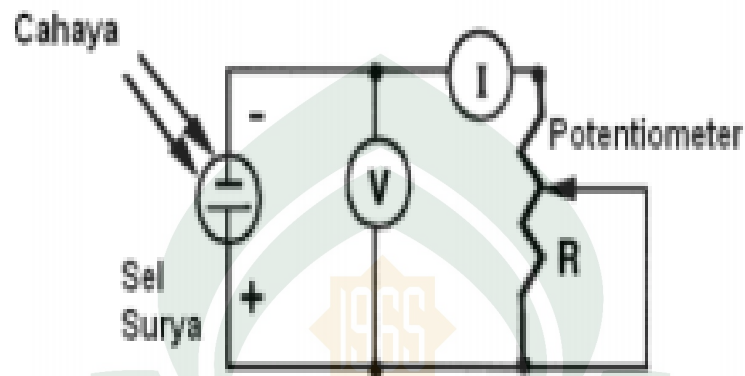
Total energi matahari yang dapat diserap sekitar  $3 \times 10^{24}$  joule, sekitar 104 dan lebih besar dari kebutuhan energi yang ada di dunia saat ini (Phani *et al.*, 2001). Untuk memanfaatkan energi matahari menjadi energi alternatif, tidak dapat dimanfaatkan dengan begitu saja. Perlu adanya proses yang dapat mengubah energi matahari menjadi energi listrik agar dapat dimanfaatkan. Alat yang dapat digunakan untuk mengubahnya adalah sel surya.

## **B. Sel Surya**

Sel surya adalah seperangkat alat yang memiliki ketebalan 0,3mm yang terbuat dari bahan semikonduktor memiliki dua kutub yaitu positif dan negatif. Hal



ini yang menyebabkan alat tersebut dapat mengkonversi energi matahari menjadi energi listrik (Subandi dan Slamet, 2015: 157).



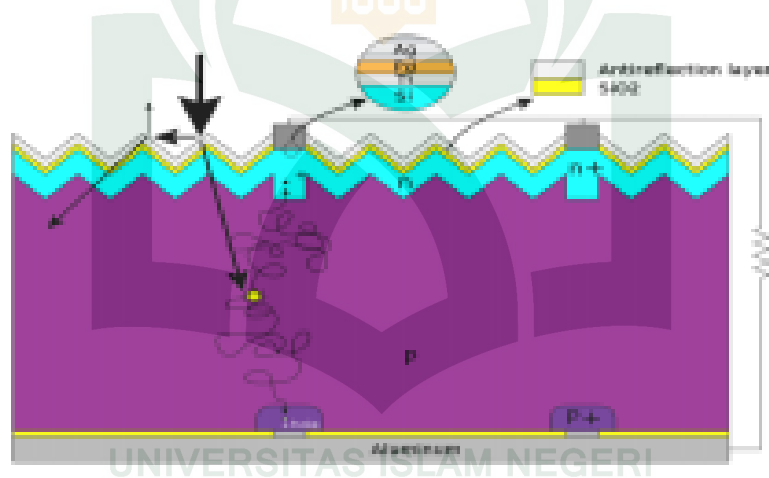
**Gambar 2. 1** Sistem Pengukuran Sel Surya

Penyerapan sel surya pada sinar matahari akan memiliki daya serap yang tinggi pada saat kondisi cuaca yang cerah pada siang hari dan intensitas cahaya yang turun ke permukaan bumi sangat besar. Untuk menangkap energi matahari sel surya membutuhkan material agar energi yang telah ditangkap dapat digunakan untuk mentransfer energi keelektron dan elektron-elektron inilah nantinya yang akan mengalirkan arus dengan jumlah tertentu (Awang R,2008)

Material yang sering digunakan dalam pembuatan sel surya adalah silikon kristal. Silikon merupakan bahan yang banyak digunakan dalam pembuatan sel surya karena memiliki daya serap yang cukup baik. Namun biaya yang dibutuh cukup tinggi serta keberadaannya yang relatif terbatas membuat sel surya berbasis silikon ini tidak banyak diminati oleh konsumen (Subandi dan Slamet, 2015)

Aplikasi solar sel semikonduktor pada proses pengerjaannya terjadi penghambatan di dalam sel sehingga menyebabkan proses berjalannya transfer

elektron tidak maksimal. Hal ini menyebabkan efisiensi yang dihasilkan tidak maksimal dan perlu adanya pengembangan untuk menetralkan kinerja dari sel surya semikonduktor. Pengembangan sel surya saat ini mengalami banyak perubahan agar dapat memperoleh kinerja sel surya yang lebih baik. Generasi pertama dari sel surya adalah sel surya dengan bahan dasar silikon (Si). Sel surya jenis pertama ini dapat menghasilkan nilai efisiensi itu sekitar 20%. (Brabec,2001). Namun keberadaan dari sel surya jenis pertama ini sangat minim dan membutuhkan biaya yang cukup tinggi dalam proses produksinya.



**Gambar 2.2** Struktur Solar Sel Silikon

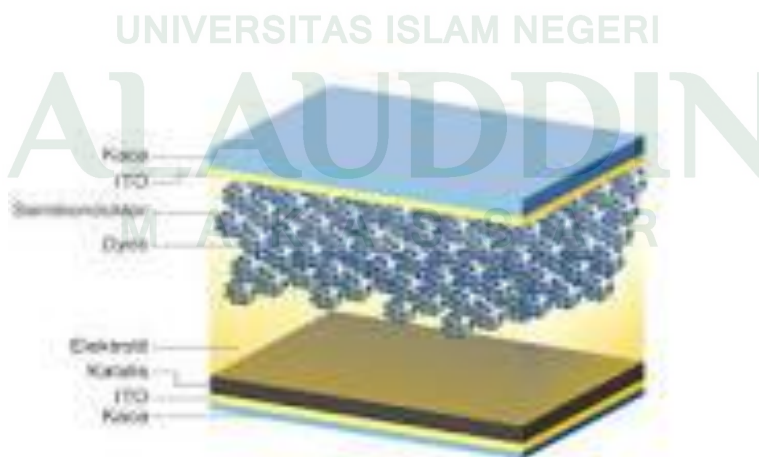
Sel surya generasi pertama ini terbuat dari silikon serta kristal tunggal yang dicampurkan dengan kutub muatan positif dan kutub bermuatan negatif. Hal ini dikarenakan muatan dari pembawa elektronik tersebut. Namun saat pertama kali sel surya jenis ini masih terbuat dari bahan lain seperti germanium atau dikenal sebagai silikon berbasis wafer sel surya. Masalah yang dihadapi dari sel surya jenis pertama berbeda dengan sel surya jenis kedua yaitu memiliki nilai efisiensi yang rendah.

Namun sel surya generasi kedua ini bersifat racun sehingga para peneliti menciptakan sel surya generasi selanjutnya agar dapat memperbaiki kekurangan dari sel surya generasi pertama dan kedua (Rashmi, 2012)

Sel surya generasi ketiga bertujuan untuk menutupi kekurangan dari sel surya generasi pertama dan kedua. Dengan meningkatkan kinerja listrik yang kurang efisien dari sel surya generasi kedua namun tetap mempertahankan produksi yang rendah. Dengan melihat masalah tersebut Gratzel menciptakan sel surya jenis ketiga ini berbasis fotoelektrokimia yang terdiri dari sebuah partikel nano biasanya  $\text{TiO}_2$  serta dilengkapi dengan pasangan redoks yang diletakkan dalam sebuah elektrolit. Sel surya jenis ini disebut dengan DSSC (Arie dkk, 2010)

### C. *Dye Sensitized Solar Cell (DSSC)*

*Dye Sensitized Solar Cell* (DSSC) dikembangkan pertama kali di tahun 1991 oleh Gratzel dan O'Regam. DSSC ini merupakan solar sel generasi ke tiga. Pembuatan DSSC tersusun dari berbagai macam yaitu, semikonduktor oksida, lapisan *dye* (pewarna), counter elektroda serta elektrolit (Chiba, 2006)



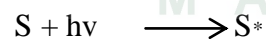
**Gambar 2.3** Struktur *Dye Sensitized Solar Sel*

DSSC adalah energi alternatif dengan memanfaatkan cahaya matahari. Selain itu DSSC juga merupakan sel surya berbasis fotoelektrokimia. Dengan perkembangannya nanoteknologi beberapa tahun kedepan DSSC akan menjadi salah satu sumber energi alternatif yang sangat berpotensi, oleh karenanya DSSC akan bermanfaat dalam kehidupan manusia (Hardeli dkk, 2013)

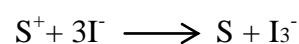
DSSC merupakan salah satu alternatif untuk potensial sel surya sebagai generasi kedepan, biaya proses produksinya yang relatif rendah dikarenakan tidak memerlukan material lebih mahal. Pada DSSC absorpsi cahaya dan separasi muatan listrik terjadi pada proses yang terpisah. *Dye* tersebut nantinya akan mengabsorpsi cahaya dan inorganik semikonduktor nanokristal akan mengseparasi muatan karena memiliki band gap yang lebar (Sahat dan Diah, 2012)

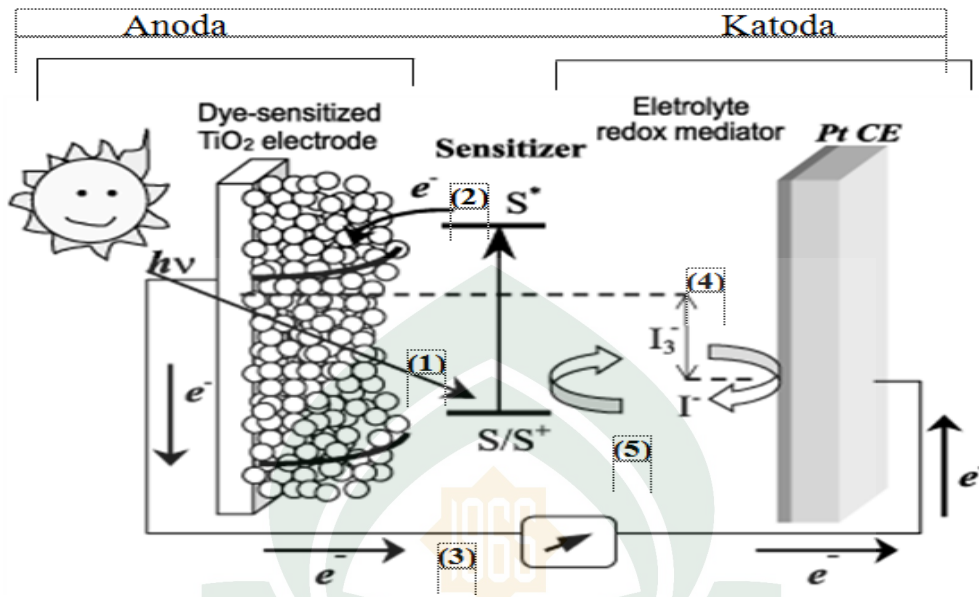
Nilai efisiensi dari DSSC lebih rendah dari efisiensi yang dimiliki oleh sel surya silikon yang mana dapat mencapai 17-25%. Namun sel surya silikon saat ini menjadi kendala besar. Hal ini dikarenakan pada proses pembuatannya sel surya silikon masih tidak ramah lingkungan. Selain itu, sel surya jenis silikon ini untuk mensuplay bahan baku silikonnya itu sangat terbatas (Hardeli dkk, 2013)

Prinsip kerja DSSC sesuai dengan gambar 2.4 dimulai dengan eksitasi elektron molekul *dye* akibat absorpsi foton (1). Elektron tereksitasi dari *ground state* (S) ke *excited state* (S\*)



elektron tadi kemudian langsung terinjeksi (2) menuju *conduction band* TiO<sub>2</sub> dan molekul *dye* akan teroksidasi





Gambar 2.4. Skema Kerja dari DSSC

Setelah mencapai elektroda TCO, elektron mengalir menuju *counter elektroda* melalui rangkaian eksternal (3). Dengan adanya katalis pada *counter elektroda*, elektron diterima oleh elektrolit sehingga *hole* yang terbentuk pada elektrolit (I<sub>3</sub><sup>-</sup>), akibat donor elektron pada proses sebelumnya, berkombinasi dengan elektron membentuk iodida (I<sup>-</sup>) (4).



Dengan kata lain, I<sub>3</sub><sup>-</sup> dihasilkan pada elektroda TiO<sub>2</sub> dan digunakan pada *counter electrode*, dengan demikian penyebarannya pada elektrolit saling berhubungan. Demikian pula, I<sup>-</sup> dihasilkan pada *counterelektroda* dan disebarkan ke arah yang berlawanan dalam elektrolit. Iodida (I<sup>-</sup>) ini digunakan untuk mendonor elektron kepada *dye* yang teroksidasi (5), sehingga terbentuk suatu siklus transport elektron. Dengan siklus ini terjadi konversi langsung dari cahaya matahari menjadi listrik (Hardeli dkk., 2013: 2)

Kinerja dari DSSC sangat berpengaruh pada sensitifitas zat warna yang digunakan. Hal yang dapat dipengaruhi dari sensitifitas zat warna tersebut adalah sifat optik serta elektrokimia dari DSSC, seperti pada spektrum absorpsi, dan juga sifat reaksi oksidasi dan reduksinya. DSSC memiliki kelebihan jika dibandingkan dengan kedua sel surya yang dikembangkan sebelumnya. Namun kekurangan yang dimiliki oleh DSSC adalah efisiensi yang dapat dicapai sangat kecil jika dibandingkan dengan sel surya generasi sebelumnya yaitu sel surya generasi pertama dan kedua. Kecilnya nilai efisiensi dikarenakan sensitifitas zat warna yang digunakan (Gratzel M, 2003).

Komponen penyusun suatu DSSC terdiri dari kaca *Indium Tin Oxide* (ITO), *Titanium Dioxide* ( $\text{TiO}_2$ ) yang merupakan elektroda kerja, *dye* alami dan elektroda pembanding (elektroda karbon). Substrat yang digunakan oleh DSSC adalah TCO (*Transparent Conductive oxide*). Merupakan kaca transparan konduktif, yang berfungsi sebagai tempat muatan mengalir. Material yang biasa digunakan yaitu *Flourine-doped tin oxide* (SnF atau FTO) dan *Indium Tin Oxide* (ITO) (Maya dan Gontjang, 2012: 2)

$\text{TiO}_2$  adalah salah satu material yang bersifat semikonduktor sehingga banyak dikembangkan sebagai elektroda solar sel. Semikonduktor  $\text{TiO}_2$  juga bersifat inert, tidak berbahaya, relatif murah dan reaktif terhadap cahaya sehingga memiliki karakteristik optik yang baik (Linsebigler *et al*, 2005)

Penggunaan *Titanium Dioxide* ( $\text{TiO}_2$ ) salah satunya manfaat untuk manufaktur elemen optik. Selain itu  $\text{TiO}_2$  juga digunakan untuk aplikasi divasi elektronik seperti DSSC dan juga sensor. Fotokatalis  $\text{TiO}_2$  material yang mempunyai aktivitas fotokalis yang tinggi, mudah didapat dan memiliki kestabilan kimia serta ketahanan fotokorosi yang baik dalam kondisi reaksi (Sudirman dkk, 2015)

Beberapa faktor yang mempengaruhi aktivitas fotokatalis  $\text{TiO}_2$  adalah bentuk kristalnya.  $\text{TiO}_2$  memiliki tiga macam bentuk kristal yaitu anatase, rutil dan brokit, namun yang memiliki aktivitas fotokatalis terbaik adalah anatase. Dalam aplikasinya untuk DSSC,  $\text{TiO}_2$  yang biasa digunakan berfasa anatase. Hal ini dikarenakan memiliki kemampuan fotoaktif yang tinggi.  $\text{TiO}_2$  berstruktur nanopori mempunyai karakteristik luas permukaan yang tinggi dan dapat menyebabkan naiknya jumlah *dye* yang telah teradsorpsi dan secara otomatis menaikkan jumlah cahaya yang teradsorpsi (Maya dan Gontjang, 2012).

#### **D. Zat Warna alami**

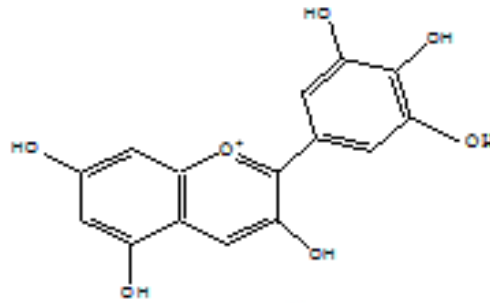
Zat warna alami adalah zat warna yang diperoleh dari tumbuhan, hewan, atau bahkan dari sumber sumber mineral. Zat warna alami ini jika dibandingkan dengan zat warna sintesis jauh lebih aman dan tidak berbahaya. Selain daripada itu, penelitian mengenai toksikologi zat warna alami masih sangat terbatas dikarenakan zat warna alami ini terdiri dari campuran senyawa alam lain (Sutrisno, 2009: 1).

Beberapa senyawa dari zat warna alami sebagai berikut:

##### **1. Antosianin**

Antosianin merupakan pewarna yang paling penting yang tersebar luas pada tumbuhan. Secara kimia, antosianin merupakan turunan dari struktur aromatik tunggal seperti sianidin, dan semua antosianin ini terbentuk dari sianidin dengan penambahan atau pengurangan gugus hidroksil atau dengan metilasi atau glikolisis (Harbone, 1987: 76).





**Gambar 2.5** Struktur Jenis Antosianin Sianidin

Antosiani merupakan golongan flavonoid yang pada umumnya larut dalam air. Flavonoid mengandung dua cincin benzen yang saling terhubung dengan tiga atom karbon, ketiga atom karbon tersebut dirapatkan oleh sebuah atom oksigen dan akan terbentuk dua cincin benzen. Antosianin memiliki warna pigmen seperti merah, biru, violet yang biasanya dijumpai pada bunga, buah dan sayur sayuran (Sutrisno, 2009: 6).

Jika dibandingkan dengan warna sintetik pada umumnya zat warna alami baik dari tumbuhan maupun hewani masih memiliki tingkat stabilitas yang masih sangat kecil, oleh sebab itu berbagai teknologi telah dilakukan guna untuk meningkatkan stabilitas dari zat warna tersebut (Francis, 2002). Adanya perlakuan suhu tinggi dapat menyebabkan terjadinya penurunan stabilitas atau pemucatan warna pada zat antosianin (Parisa, dkk 2007). Beberapa hal yang dapat mempengaruhi kestabilan zat warna antosianin sebagai berikut:

**a. Pengaruh pH**

Antosianin umumnya stabil pada larutan asam dibandingkan pada larutan netral atau alkali. Antosianin dalam suasana asam antosianin berada dalam bentuk garam flavilium yang lebih stabil sedangkan pada pH semakin besar warna ekstrak menjadi memudar dan berubah menjadi biru (Parisa, dkk 2007).

Muhammad Asep (2009), dalam penelitiannya mengatakan bahwa dengan menurunnya pH (semakin asam) terjadi kenaikan nilai absorbansinya. Begitupun dengan pengaruh intensitas warna dilihat pada pH (3,4,5)

#### **b. Cahaya**

Cahaya memiliki energi tertentu yang mampu menstimulasi terjadinya reaksi fotokimia (fotooksidasi) dalam molekul antosianin. Reaksi fotokimia (fotooksidasi) dapat menyebabkan pembukaan cincin aglikon pada antosianin. Pada akhirnya reaksi fotokimia (fotooksidasi) tersebut mampu membentuk senyawa yang tidak berwarna seperti kalkon sebagai indikator degradasi antosianin (Indrayani, 2008)

#### **c. Suhu**

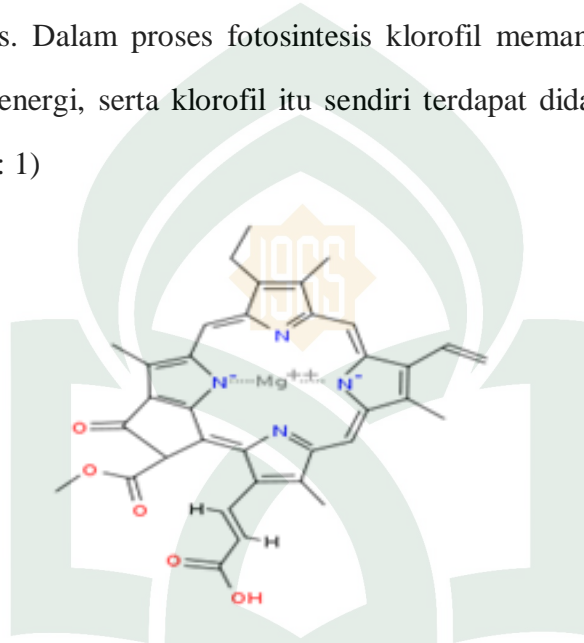
Peningkatan suhu pengolahan hingga penyimpanan dapat menyebabkan kerusakan dan perubahan antosianin. Fatonah dkk (2016), dalam penelitiannya menyimpulkan bahwa semakin dingin suhu maka tingkat nilai absorbansi dari zat antosianin semakin meningkat. Ditandai pada suhu 15°C lebih besar persentasinya dibandingkan dengan 30°C.

#### **d. Pengaruh oksidator**

Pengaruh oksidator pada stabilitas antosianin mampu menyebabkan oksidasi antosianin membentuk senyawa tidak berwarna yang menurunkan stabilitas warna antosianin. Asep Muhammad (2009), dalam penelitiannya mendapatkan hasil adanya penurunan absorbansi setelah adanya penambahan oksidator H<sub>2</sub>O<sub>2</sub>, begitupun dengan intensitas warna terhadap pengaruh oksidator memberikan pengaruh yang nyata dilihat dari hilangnya absorbansi maksimum pada konsentrat.

## 2. Klorofil

Klorofil merupakan pigmen fotosintesis yang terdapat dalam daun pada tumbuhan yang memiliki sifat menyerap cahaya merah, biru dan ungu, dan merefleksikan cahaya hijau yang akan menyebabkan tumbuhan tersebut memperoleh warna yang khas. Dalam proses fotosintesis klorofil memanfaatkan sinar matahari sebagai sumber energi, serta klorofil itu sendiri terdapat didalam kloroplas (Pungki dan Muljo, 2013: 1)



Gambar 2.6. Struktur klorofil

Zat warna yang terdapat pada kulit Terong ungu adalah antosianin, hal ini yang menyebabkan adanya warna ungu pada kulit Terong ungu. Jenis antosianin yang terdapat pada kulit Terong ungu adalah *Delphinidine-3-glucoside* (Bachtold, 2009 dalam Rukmini 2012).

### E. Terong Ungu (*Solanum melongena* L.)

#### 1. Taksonomi Terong Ungu (*Solanum melongena* L.)

Terong ungu (*Solanum melongena* L.) tanaman hortik yang tergolong kedalam family *solanacea* yang memiliki biji. Terong ungu itu sendiri diduga berasal

dari India dan Srilanka (Faisal, 2012 dalam Hendri dkk, 2015). Berikut adalah taksonomi dari Terong ungu (Bisby, 2004 dalam Rukmanasari, 2010:22)

Kingdom : Plantae  
Divisi : Spermatophyta  
Sub Divisi : Angiospermae  
Class : Magnoliopsida  
Subclass : Asteridae  
Order : Solanales  
Family : Solanaceae  
Genus : Solanum  
Spesies : *S. melongena*  
Nama binomial : *Solanum melongena* L

## 2. Morfologi Terong ungu

Karakteristik dari terong ungu (*Solanum melongena* L.) yaitu berbatang bulat, berkayu, mempunyai cabang simpodial, berambut, berduri, berwarna putih kotor, dan tumbuh setinggi 40-150 cm (16-57 inci). Daun berbulat besar, memiliki ujung yang runcing, pangkal bertekuk, tepi berombak, pertulangan menyirip, hijau, dan lobus yang kasar, ukuran panjangnya 10-20 cm (4-8 inci) dan lebarnya 5-10 cm (2-4 inci). Bunga berwarna putih hingga ungu dengan mahkotalima lobus dan memiliki benang sarinya berwarna kuning (Refilia, 2010: 22-23)



**Gambar 2.7** Terong Ungu (*Solanium Melongena L.*)

### **3. Kandungan Zat Gizi Terong Ungu (*Solanum melongena L.*)**

Terong ungu merupakan salah satu bahan pangan yang mudah didapat karena harganya yang relatif murah dan juga mudah untuk dikembangbiakkan. Terong ungu mengandung banyak vitamin dan gizi diantaranya vitamin B-kompleks, tiamin, piridoxin, riboflavin, zat besi, posphorus, manganese, potassium, dan juga mineral, yang dapat dimanfaatkan sebagai anti kanker, dan sebagai alat kontrasepsi. Selain itu Terong ungu mengandung flavonoid yang dimanfaatkan untuk penurunan kadar kolestrol dalam darah karena adanya antioksidan yang menghambat aktivitas oksidasi lemak (Faisal, 2012).

## **F. Metode Ekstraksi**

### **1. Ekstraksi Maserasi**

Ekstraksi adalah pemisahan suatu senyawa atau kelompok senyawa ke dalam fasa yang berbeda. Tujuannya adalah agar dalam proses analisis suatu sampel dengan menggunakan alat instrument dapat berjalan lancar. Dalam menganalisis suatu sampel baik secara kuantitatif maupun kualitatif, sangat penting untuk memperoleh hasil ekstraksi yang tinggi, kemurniannya yang bersifat selektivitas, sensitivitasnya yang tinggi, dan batas deteksinya rendah (kuantifikasi) (Haeria, 2014: 15-16).

Maserasi berasal dari bahasa latin *Macerace* berarti mengairi dan melunakkan dengan bantuan pelarut organik yang bertujuan untuk menarik zat-zat yang dibutuhkan. Maserasi termasuk cara ekstraksi yang paling sederhana. Dasar dari maserasi adalah melarutnya bahan kandungan simplisia dari sel yang rusak, yang terbentuk pada saat penghalusan, ekstraksi (difusi) bahan kandungan dari sel yang masih utuh (Istiqomah, 2013: 12).

## **2. Sokletasi**

Sokletasi merupakan proses ekstraksi panas dengan menggunakan pelarut pelarut organik yang dilakukan dengan alat khusus sehingga adanya proses ekstraksi yang kontinu. Sampel yang digunakan dalam proses ini biasanya dalam bentuk padatan dan bersifat mudah menguap atau volatil (Istiqomah, 2013: 12).

Proses ekstraksi ini tidak menggunakan waktu yang lama seperti maserasi. Kerugian dari metode ini terjadinya ketidakmerataan kontak antara sampel dengan pelarut sehingga ada sebagian sampel yang berkontak lama dengan cairan (Bintang, 2010: 127).

## **G. Karakteristik Zat Warna**

Struktur suatu senyawa yang telah diperoleh dari proses ekstraksi dapat ditentukan selain dengan menggunakan metode konvensional juga dengan metode-metode yang lebih modern. Karena metode konvensional memiliki banyak kekurangan serta proses penentuannya membutuhkan waktu yang lama maka dikembangkanlah metode modern yang proses pengerjaannya cukup singkat serta menggunakan sampel yang sedikit. Metode ini biasa dikenal dengan metode

spektroskopis (Unang, 2006: 1). Metode-metode spektroskopis yang biasa digunakan adalah:

### **1. *Gas Chromatography – Mass Spectroscopy (GC-MS)***

GC-MS merupakan gabungan dari dua alat instrumen yaitu kromatografi gas dan spektroskopi massa yang memiliki fungsi untuk menentukan berat molekul dari suatu molekul. Molekul yang sudah dipisahkan dengan perbedaan waktu retensi pada kromatografi gas kemudian dilanjutkan menuju spektroskopi massa untuk menentukan berat molekul figmen-figmen hasil dari GC. Molekul tersebut ditembakkan dengan menggunakan elektron yang memiliki energi yang tinggi yang menghasilkan molekul yang bersifat tidak stabil dalam bentuk figmen kecil. Pembacaan pada detektor hanya untuk figmen yang memiliki ion positif yang kemudian akan dibaca dan membentuk spektrum (Unang, 2010: 260).

### **2. *Spektroskopi UV-Vis***

Kegunaan utama dari spektrometri UV-Vis ialah untuk mengidentifikasi jumlah ikatan rangkap/konjugasi aromatik (Panji, 2012: 5). Daerah penyerapan sinar tampak (Vis) atau ultraviolet yang diserap oleh suatu molekul menyebabkan terjadinya proses eksitasi molekul dari tingkat rendah (*ground state*) ke tingkat tinggi atau eksitasi (*excited state*). Penyerapan sinar UV dan Vis yang menghasilkan proses eksitasi menyebabkan terbentuknya panjang gelombang absorban maksimum yang dapat dikorelasikan dengan nilai absorban UV dan Vis untuk penentuan kuantitatif pada senyawa yang mengandung gugus-gugus penyerap (Bintang, 2010: 193).



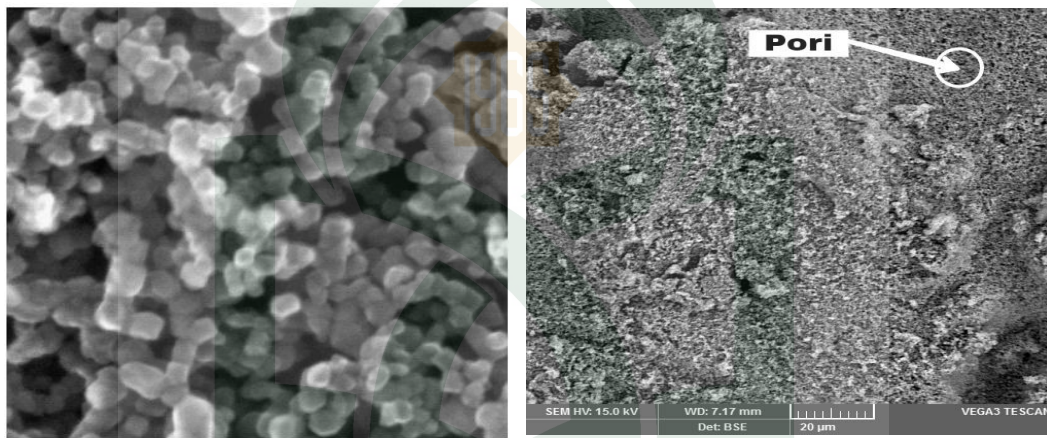
### 3. Spektroskopi Infra Merah (FTIR)

Spektrofotometer IR adalah hasil transisi energi sehingga mengakibatkan getaran pada ikatan-ikatannya. Energi getaran pada molekul dikonversi menjadi nilai yang khas. Hal inilah yang menjadikan spektrofotometer infra merah dapat menentukan jenis dari suatu gugus fungsi dan senyawa-senyawa organik. Molekul yang telah menyerap radiasi infra merah menyebabkan kenaikan amplitud getaran antar atom yang terikat sehingga molekul tersebut berada dalam keadaan vibrasi tereksitasi, sedangkan energi yang telah diserap akan dibuang menjadi panas (Unang, 2010: 66)

Pada Spektroskopi Infra Merah, besaran yang biasa digunakan adalah bilangan gelombang ( $\nu$ ) satuannya yaitu  $\text{cm}^{-1}$ , ini merupakan kebalikan dari panjang gelombang ( $\lambda$ ) dengan satuan  $\mu\text{m}$ . Namun untuk mempermudah pernyataan dalam satuan, frekuensi biasanya dinyatakan sebagai bilangan gelombang. Hal ini dikarenakan besarnya berbanding lurus. Absorpsi energi pada infra merah adalah (bilangan gelombang  $\nu=650-4.000 \text{ cm}^{-1}$ ) menyebabkan perubahan pada vibrasi molekul (Panji, 2012: 17).

## H. Scanning Elektron Microscopy (SEM)

Scanning Electron Microscopy (SEM) merupakan sejenis mikroskop yang menggunakan elektron sebagai pengganti cahaya untuk melihat benda dengan resolusi tinggi. Analisis SEM berfungsi untuk mengetahui mikrostruktur (termasuk porositas dan bentuk retakan) benda padat (Gunawan dan Citra, 2012: 7-8).



Gambar 2.8 Scanning electron Microscopy TiO<sub>2</sub>

## **BAB III**

### **METODE PENELITIAN**

#### ***A. Waktu dan Tempat Penelitian***

Penelitian dilakukan pada bulan Oktober–Desember 2017. Preparasi sampel dilakukan di Laboratorim Kimia Organik Universitas Islam Negeri Alauddin Makassar, analisis UV-Vis akan dilakukan di Laboratorium Kimia Instrument Universitas Islam Negeri Alauddin Makassar, dan uji *Scanning Electron Microscopy* (SEM) dilakukan di Laboratorium FMIPA UNM.

#### ***B. Alat dan Bahan***

##### **1. Alat**

Alat-alat yang akan digunakan pada penelitian ini, yaitu spektrofotometer FTIR Shimadzu IR-Prestige 21, UV-2600 Shimadzu, SEM, multimeter DT-680B, *rotary vaccum evaporator*, neraca analitik, kaca TCO (*Transparent Conductive Oxide*), Luxmeter, potensiometer 50 k $\Omega$ , *hot plate*, alat gelas, botol semprot, dan spatula.

##### **2. Bahan**

Simplisia yang digunakan adalah kulit terong ungu (*Solanium Malongena L.*) yang diperoleh di pasar jembatan kembar Gowa, Sulawesi Selatan. Bahan yang digunakan pada penelitian ini, yaitu aquadest (H<sub>2</sub>O), etanol (C<sub>2</sub>H<sub>5</sub>OH) (Bratachem), FeCl<sub>3</sub> 5%, iodin (I<sub>2</sub>), kalium iodida (KI), kertas saring biasa, lilin, metanol (CH<sub>3</sub>OH) (Bratachem), NaOH 10%, Pereaksi dragendorf, pereaksi mayer, pereaksi wagner, pereaksi lieberman-burchard, Titanium dioksida (TiO<sub>2</sub>) catalog 7508, isolasi bening

### **C. Prosedur Penelitian**

#### **1. Ekstraksi Senyawa kulit terong ungu**

Sampel kulit terong ungu terlebih dahulu dipotong-potong kecil dan dikeringkan pada suhu kamar kemudian diblender untuk mendapatkan serbuk kulit terong ungu. Serbuk kemudian ditimbang sebanyak 300 gr setelah itu sampel dimasukkan ke dalam toples dan ditambahkan dengan pelarut metanol. Setelah itu dilakukan proses maserasi selama 4 hari. Pelarut diganti dalam 1x24 jam. Filtrat hasil ekstraksi menggunakan pelarut metanol kemudian diuapkan menggunakan *rotary vaccum evaporator* pada suhu 60°C hingga membentuk ekstrak kental.

#### **2. Variasi pH**

Untuk variasi pH pada ekstrak metanol kulit terong ungu, dilakukan penambahan larutan bufer pada ekstrak yang telah disiapkan hingga ekstrak mencapai pH 0, 2, 4, 6 dan 8. Setelah itu, dilakukan pengukuran efisiensi pada setiap ekstrak selama 3 hari dengan selang waktu 1 hari.

#### **3. Preparasi perangkat DSSC**

##### **a. Preparasi TiO<sub>2</sub> (Wilman, dkk., 2007)**

TiO<sub>2</sub> p.a dilarutkan menggunakan aquadest (H<sub>2</sub>O) panas kemudian dididihkan selanjutnya diendapkan dan disaring. Endapan tersebut dilarutkan kembali menggunakan pelaut etanol (C<sub>2</sub>H<sub>5</sub>OH) hingga terbentuk pasta. Lalu ditambahkan binder. Pembuatan binder yaitu dengan prosedur tersebut:

- 1) Tambahkan polivinil Alkohol 10 % berat kedalam air, kemudian diaduk pada suhu 80°C.

- 2) Tambahkan suspensi tersebut dengan bubuk  $\text{TiO}_2$  sebanyak kurang lebih 10% volume. Kemudian digerus dengan menggunakan mortar sampai terbentuk pasta yang baik untuk dilapisi.

**b. Pembuatan larutan elektrolit (Rofi'ah dan Prajitno, 2013)**

Untuk larutan elektrolit digunakan Kalium Iodida (KI) ditimbang sebanyak 3 gr lalu ditambahkan dengan Iodin ( $\text{I}_2$ ) sebanyak 5 mL distirrer selama 15 menit.

**c. Pembuatan elektroda pembanding (Baharuddin, Amin dkk., 2016)**

Kaca TCO dibersihkan dengan aquadest dalam ultrasonik kemudian dikeringkan. Setelah itu, kaca TCO dipanaskan di atas api (lilin) hingga terbentuk warna hitam pada kaca TCO.

**d. Rangkaian perangkat DSSC (Baharuddin, Amin dkk., 2016)**

Kaca TCO yang telah dibersihkan ditutup dengan isolasi bening disalah satu sisinya dan dilakukan pelapisan pasta  $\text{TiO}_2$  p.a kemudian dilakukan proses sintering selama 30 menit. Kaca TCO yang telah dilapisi dengan  $\text{TiO}_2$  kemudian ditetesi dengan ekstrak kulit Terong ungu dan dibiarkan hingga terserap ke dalam  $\text{TiO}_2$ . Selanjutnya ditetesi dengan larutan gel elektrolit dan ditutup dengan elektroda pembanding. Setelah rangkaian DSSC selesai, kemudian disambungkan dengan alat multimeter dan pengukur intensitas cahaya. Lalu disinari dengan sinar matahari dan dicatat arus serta tegangan yang dihasilkan oleh rangkaian DSSC.

**4. Uji Scanning Electron Microscopy (SEM)**

Kaca TCO dipotong dengan ukuran 0,5 cm x 0,5 cm. Kaca TCO yang telah dibersihkan, diletakkan di atas meja kerja. Salah satu sisinya ditutupi dengan isolasi bening lalu dilakukan proses sebagai berikut:

- a. Pelapisan pada  $\text{TiO}_2$  catalog 7508 kemudian dilakukan *sintering* selama 30 menit. Selanjutnya Uji dengan SEM
- b. Pelapisan pada  $\text{TiO}_2$  catalog 7508 kemudian dilakukan *sintering* selama 30 menit Kaca TCO yang telah dilapisi kemudian ditetesi dengan ekstrak yang memiliki nilai efesien yang tinggi lalu dibiarkan beberapa menit hingga ekstrak tersebut meresap. Selanjutnya di uji menggunakan SEM.
- c.  $\text{TiO}_2$  catalog 7508 dicampurkan dengan menggunakan binder kemudian diaduk hingga homogen. Selanjutnya pelapisan pada kaca TCO lalu dilakukan *sintering* selama 30 menit Kaca TCO yang telah dilapisi kemudian ditetesi dengan ekstrak yang memiliki nilai efesien yang tinggi lalu dibiarkan beberapa menit hingga ekstrak tersebut meresap. Selanjutnya di uji menggunakan SEM.

## **BAB IV**

### **HASIL DAN PEMBAHASAN**

#### **A. Hasil pengamatan**

##### **1. Hasil Ekstraksi**

Berdasarkan penelitian yang telah dilakukan, didapatkan ekstrak kental kulit terong ungu menggunakan metode maserasi dengan bobot sebagai berikut:

Bobot sampel : 300gram

Bobot ekstrak : 30,5gram

Rendamen : 10,1%

##### **2. Pengukuran Nilai Efisiensi**

Hasil pengukuran nilai efisiensi DSSC dari ekstrak metanol kulit terong ungu dan ekstrak metanol kulit terong ungu dengan pengaturan kestabilan zat warna dengan menggunakan multimeter dan potensiometer. Hasil pengukuran dapat dilihat pada Tabel 4.1

UNIVERSITAS ISLAM NEGERI  
**ALAUDDIN**  
M A K A S S A R



a. Tabel 4.1 Pengukuran nilai efisiensi ekstrak murni, ekstrak yang terstabilkan pada pH 2 dan TiO<sub>2</sub> yang terstabilkan dengan variasi waktu

Ekstrak Kulit terong ungu	Hari ke	V	I	Lux	P <sub>in</sub> (mwatt/cm <sup>2</sup> )	P <sub>out</sub> (nw)	P <sub>out</sub> (mw)	η (%)
		Ekstrak Murni	1	235	27.8	64200	9.39	6533
Ekstrak Terstabilkan	1	589	105.4	59700	8.74	62080.6	0.062	0.71
	2	183	21.9	53200	0.77	4007.7	0.004	0.51
	3	241	75	76400	11.18	18075	0.018	0.16
Ekstrak TiO <sub>2</sub> Terstabilkan	1	151	108.6	69200	10.13	16398.6	0.016	0.16
	2	26	6.7	35000	5.12	174.2	0.0001	0.003
	3	72	14.6	76800	11.24	1051.2	0.001	0.009

b. Tabel 4.2 Hasil Uji Skrining Fitokimia

Ekstrak Kulit Terong Ungu	Uji Flavonoid		Uji Alkaloid			Uji Terpenoid
	FeCl <sub>3</sub> 5%	NaOH 10%	Wagner	Mayer	Dragondorff	Liebermann Burchard
Metanol	+	+	+	+	+	-

c. Table 4.3 Data Hasil Analisis UV-Vis Zat Warna Kulit Terong Ungu pH 2

Ekstrak Kulit Metanol Terong Ungu	Panjang Gelombang (λ)	Absorbansi
pH 2	288nm	2.223

d. Tabel 4.4 Data hasil Analisis FTIR Zat Warna Kulit Terong Ungu pH 2

Nomor	Bilangan gelombang	Bentuk pita	Jenis ikatan
1	3411.20	Lebar	-OH
2	2853.34-2923.34	Tajam	C-H
3	1638.24	Sedang	C=C
4	1384.17-1460.63	Sedang	C-H

### 3. Pembahasan

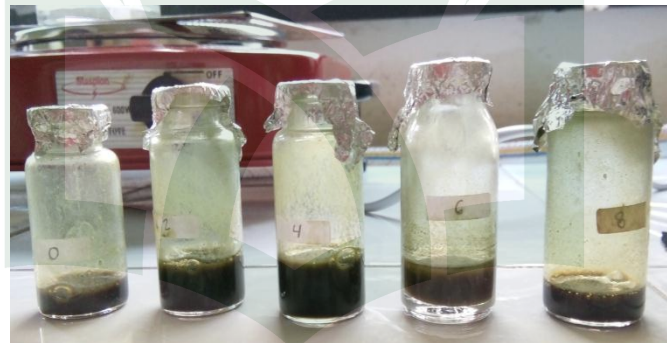
#### 1. Ekstrak kulit terong ungu

*Dye sensitized solar cell* (DSSC) atau sel surya yang tersensitasi zat warna telah dikembangkan dengan memanfaatkan zat warna baik yang alami ataupun zat warna sintetik. Dalam hal ini digunakan zat warna alami dari ekstrak metanol kulit terong ungu dengan menggunakan metode maserasi. Tujuannya untuk mengambil semua komponen senyawa yang terdapat dalam suatu sampel. Untuk memudahkan proses maserasi dilakukan tehnik penyiapan sampel dengan cara mengeringkan sampel lalu diblender bertujuan untuk memperbesar luas permukaannya dan dalam proses maserasi komponen zat akan tertarik dengan mudah. Pada proses maserasi digunakan pelarut metanol dan penambahan HCl 10% kedalam sampel tujuannya untuk mempertahankan zat warna antosianin. Hasil maserat yang telah didapatkan akan diuapkan dengan menggunakan *rotary vacum evaporator* untuk mendapatkan ekstrak kental.

Serbuk kulit terong ungu sebelum dilakukan maserasi memiliki bobot 300 gram. Ekstrak kental yang telah didapatkan memiliki bobot 30,5 gram.

## 2. Kestabilan Zat Warna dengan Variasi pH

Struktur dan konsentrasi antosianin dapat dipengaruhi oleh stabilitas dari zat warna itu sendiri. Adanya glikolisis dan asilasi pada struktur antosiani dapat meningkatkan stabilitas antosianin (Rein, 2005). Zat warna antosianin lebih stabil pada keadaan asam jika dibandingkan dengan keadaan basa. Variasi pH yang digunakan pada penelitian ini yaitu 2, 4, 6, 8 dan 1 sampel tanpa penambahan buffer sebagai pembandingnya. Gambar ekstrak zat warna kulit terong ungu yang telah distabilkan dengan memvariasikan pH dengan menggunakan larutan buffer dapat dilihat pada gambar 4.1



**Gambar 4.1** Ekstrak Kulit Terong Ungu tanpa penambahan buffer dan Dengan Variasi pH 2,4,6,8 Menggunakan Penambahan larutan bufer

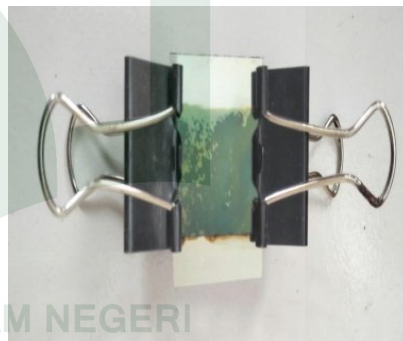
Penggunaan variasi pH tersebut didasarkan pada kondisi kestabilan dari zat warna antosianin. Untuk pH 2, 4, dan 6 atau pH asam digunakan karena zat warna antosianin pada pH tersebut akan berbentuk kation flavium, dimana pada keadaan tersebut antosianin berada dalam keadaan paling stabil dan paling berwarna (Misbachudi, dkk, 2014). Sedangkan penggunaan pH 8 yaitu untuk menstabilkan zat warna antosianin ketika berikatan dengan  $\text{TiO}_2$  (Risna, 2016). Penambahan larutan yang digunakan untuk mencapai pH tersebut dengan menggunakan larutan bufer.

### 3. Rangkaian DSSC

Ekstrak metanol kulit terong ungu murni dan dengan pengaturan kestabilan zat warna (pH) nilai efesiensinya diuji dengan menggunakan rangkaian alat DSSC. Rangkain alat DSSC terdiri dari kaca TCO,  $\text{TiO}_2$ , larutan elektrolit, dan elektroda karbon. Kaca TCO yang digunakan pada penelitian ini yaitu ukuran kaca sebesar 25mm x 25mm dan resistensinya kurang dari  $7 \Omega/\text{sq}$ , kaca TCO berfungsi agar foton yang dihasilkan dari sinar matahari dapat menembus kaca dengan mudah sehingga *dye* tersebut akan menyerap foton. Semakin rendah nilai resistensi dari kaca TCO akan semakin mudah elektron untuk menuju ke rangkaian luar sehingga efesiensi yang akan dihasilkan akan lebih besar. Gambar rangkaian alat DSSC dapat dilihat pada gambar 4.2 dan 4.3



**Gambar 4.2** Rangkaian DSSC



**Gambar 4.3** Sel DSSC

Semikonduktor  $\text{TiO}_2$  yang digunakan pada penelitian ini adalah  $\text{TiO}_2$  dengan nomor katalog 7508.  $\text{TiO}_2$  tersebut dilarutkan dengan menggunakan etanol hingga terbentuk pasta. Setelah itu ditambahkan polivinil alkohol yang berfungsi sebagai binder yaitu untuk menstabilkan  $\text{TiO}_2$  dan untuk memperbesar porinya sehingga lebih bagus pada saat menyerap *dye*.  $\text{TiO}_2$  yang telah berbentuk pasta dioles diatas kaca TCO. Sebelum dilakukan pengolesan pada kaca TCO harus memeriksa resistensi pada kaca tersebut. Setelah diolesi kemudian disintering kurang lebih 15 menit pada

suhu  $> 400^{\circ}\text{C}$ , proses sintering ini berfungsi untuk membuka pori pori  $\text{TiO}_2$  sehingga mempermudah reaksi antara  $\text{TiO}_2$  dan *dye* agar supaya  $\text{TiO}_2$  tersebut akan lebih mudah untuk menangkap elektron yang tereksitasi dari *dye* dengan bantuan katalis yaitu karbon.

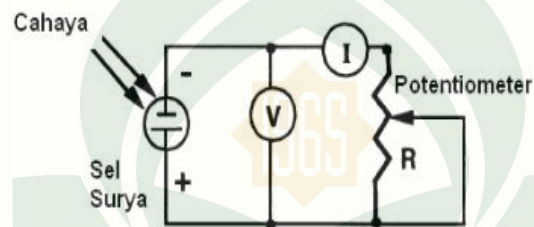
Tahap selanjutnya yaitu kaca TCO yang telah diolesi oleh  $\text{TiO}_2$  kemudian ditetesi dengan ekstrak kulit terong ungu secara merata kemudian didiamkan beberapa menit agar ekstrak tersebut meresap kedalam pori pori  $\text{TiO}_2$ . Selanjutnya membuat elektroda karbon dengan cara membakar kaca TCO tersebut dengan menggunakan lilin hingga terbentuk karbon yang berperan sebagai elektroda pembanding dan berfungsi untuk mempercepat terjadinya proses reduksi  $\text{I}^{3-}$  pada kaca TCO. Kemudian kedua kaca tersebut direkatkan lalu dijepit masing masing ujungnya dan pada sela kaca tersebut ditetesi dengan elektrolit yaitu pasangan  $\text{I}^-$  dan  $\text{I}^{3-}$  yang berfungsi sebagai redoks.

#### 4. Pengukuran Nilai Efisiensi

Pengukuran nilai efisiensi dilakukan dengan menggunakan rangkaian alat DSSC yang meliputi dua buah multimeter yang berfungsi untuk mengukur arus dan tegangan, lux meter yang berfungsi untuk mengukur intensitas cahaya yang diserap, potensiometer yang berfungsi untuk mengatur arus dan tegangan yang masuk sehingga didapatkan hasil yang maksimum. Daya yang diterima ( $P_{in}$ ) didapatkan dari konversi nilai intensitas cahaya pada luxmeter dengan konstanta  $1 \text{ lux} = 1,464 \cdot 10^{-7} \text{ W/M}^2$ . Nilai efisiensi ditentukan dengan persamaan berikut :

$$\eta = \frac{P_{out}}{P_{in}} \times 100\%$$

Nilai efisiensi ( $\eta$ ) dapat ditentukan dengan menggunakan persamaan diatas, dimana  $P_{out}$  adalah daya yang keluar (mw), nilai  $P_{out}$  dapat ditentukan dengan menggunakan rumus  $P_{out} = \frac{V \times i}{1000000}$  sedangkan  $P_{in}$  adalah daya yang masuk (mwatt/cm<sup>2</sup>), nilai  $P_{in}$  dapat ditentukan dengan menggunakan rumus  $Lux \times 1,464 \cdot 10^{-7}$ . Rangkaian pengukuran DSSC dapat dilihat pada gambar IV.4



**Gambar 4.4** Rangkain Pengukuran nilai efisiensi

Efisiensi DSSC yang menggunakan ekstrak metanol kulit terong ungu diperoleh nilai sebesar 0.0695%

pH	Efisiensi (%)		
	Hari ke 1	Hari ke 2	Hari ke3
Tanpa Buffer	0,08	0,02	0,01
2	0,71	0,51	0,16
4	0,40	0,33	0,06
6	0,33	0,04	0,02
8	0,50	0,16	0,11

**Tabel 4.5** Nilai efisiensi (%) Ekstrak metanol kulit terong ungu yang terstabilkan

Jika dilihat dari nilai efisiensi yang diperoleh nilai tertinggi terdapat pada pH 2 pada hari pertama hal tersebut terjadi karena pada suasana pH rendah atau paling asam antosianin berada dalam keadaan paling stabil dan paling berwarna sehingga efisiensi yang diperoleh lebih tinggi. Namun pada penelitian yang menggunakan kol merah sebagai *dye* memperoleh nilai sebaliknya yaitu efisiensi tertinggi terdapat pada pH tinggi atau pH basa. Hal ini disebabkan karena perbedaan struktur antosianin yang dimiliki. Jika dilihat dari variasi waktu yang diperoleh semakin lama maka nilai efisiensi yang didapat semakin kecil, hal ini disebabkan karena zat warna yang terkandung dalam kulit terong ungu adalah antosianin yang mudah rusak jika disimpan berlama-lama pada suhu ruang.

pH	Efisiensi (%)		
	Hari ke 1	Hari ke 2	Hari ke3
Tanpa Buffer	0,0014	0,0018	0,0008
2	0,16	0,002	0,001
4	0,002	0,0034	0,0014
6	0,003	0,0005	0,0093
8	0,01	0,0003	0,011

**Tabel 4.6** Nilai efisiensi (%) ekstrak metanol kult terong ungu dan TiO<sub>2</sub> yang terstabilkan

Jika dibandingkan dengan pengukuran tanpa kestabilan TiO<sub>2</sub> diperoleh nilai yang lebih rendah. Hal ini dapat disimpulkan bahwa jenis PVA yang digunakan masih jenis teknis dan sulit untuk menyatu dengan permukaan TiO<sub>2</sub>. Sehingga tidak mempengaruhi kenaikan nilai efisiensi.



kestabilan zat warna ekstrak metanol kulit terong ungu dengan bervariasi pH yaitu kisaran antara 2,4,6 dan 8, serta variasi waktu selama 3 hari. Nilai efisiensi tertinggi pada pH 2 yaitu pH asam di hari pertama. Hal ini disebabkan pada pH tertentu yaitu pH 2 zat warna antosianin memberikan warna yang menonjol sehingga nilai efisiensi yang didapatkan tinggi. Namun hal ini tidak membuat zat warna antosianin tersebut stabil, karena semakin lama penyimpanan nilai efisiensi yang diperoleh semakin rendah. Hasil tersebut diperoleh karena pengaruh beberapa hal misalnya pengaruh suhu dan hal-hal yang membuat zat warna antosianin tersebut rusak. Namun hasil yang diperoleh tersebut tidak sebanding dengan penelitian yang dilakukan oleh (Misbachuddin, 2014) meneliti tentang zat warna antosianin yang diperoleh dari strawberry pada pH asam memperoleh nilai efisiensi sebesar 0.0016%. Berbeda dengan penelitian yang dilakukan oleh (Ahliha dkk, 2018) menggunakan zat warna klorofil memperoleh nilai efisiensi sebesar 0.013%. Hal ini dapat disimpulkan bahwa zat warna antosianin yang diperoleh dari ekstrak kulit terong ungu lebih tinggi jika dibandingkan dengan penelitian-penelitian terdahulu.

Selain menggunakan kestabilan zat warna dengan variasi pH juga menstabilkan semikonduktor  $\text{TiO}_2$  dengan penambahan polifinil alkohol. Jika dilihat dari data yang dihasilkan nilai efisiensi yang diperoleh masih sangat rendah. Jika dibandingkan dengan penelitian yang dilakukan oleh (Hardeli dkk, 2013) meneliti tentang zat warna antosianin yang terdapat pada beras ketan hitam memperoleh nilai efisiensi sebesar 0,4%,. Berbeda dengan penelitian yang dilakukan oleh (Septina dkk, 2007) menggunakan zat warna antosianin yang diperoleh dari buah delima mendapatkan nilai efisiensi yang sangat rendah. Hal ini dapat dipengaruhi oleh

penggunaan jenis PVA yang berbeda-beda sehingga terjadi perbedaan nilai efisiensi yang didapatkan.

## 5. Karakterisasi Zat Warna

### a. Uji Skrining fitokimia

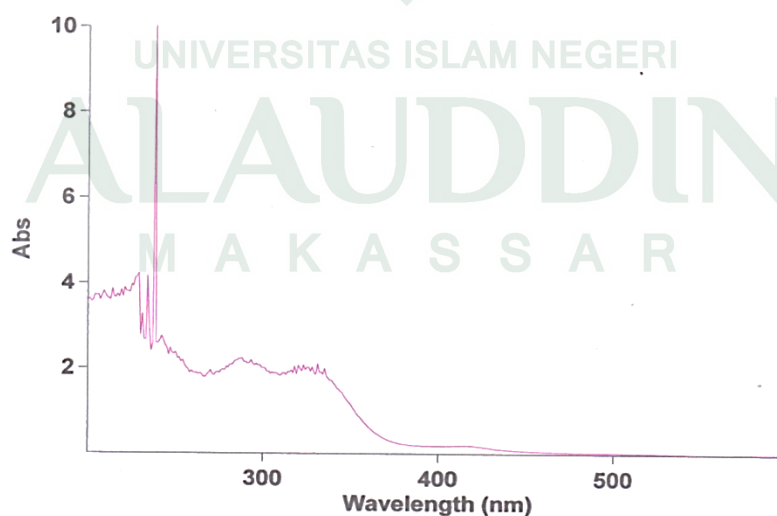
Uji skrining fitokimia dilakukan untuk mengetahui golongan senyawa yang terdapat di dalam sampel. Uji skrining fitokimia yang dilakukan adalah uji flavonoid, uji terpenoid dan uji alkaloid. Uji flavonoid menggunakan dua pereaksi yaitu NaOH 10% dan pereaksi  $\text{FeCl}_3$  5%. Hasil positif yang diperoleh dari pereaksi NaOH 10% terbentuk warna kuning tua dan pereaksi  $\text{FeCl}_3$  5% terbentuk warna kompleks biru (Harbone, 1987). Dari hasil uji fitokimia ekstrak kulit terong ungu dari pelarut metanol, mengandung flavanoid.

Uji alkaloid menggunakan tiga pereaksi yaitu Dragendorff, Mayer dan Wagner. Hasil positif yang diperoleh dengan penambahan pereaksi tersebut yaitu, pereaksi Mayer terbentuknya endapan putih kekuning-kuningan, pereaksi Wagner terbentuk endapan coklat dan pereaksi Dragendorff terbentuk endapan merah hingga jingga (Harbone, 1987). Dari hasil uji fitokimia ekstrak kulit terong ungu menggunakan pelarut metanol mengandung alkaloid. Pada uji steroid dengan menggunakan pereaksi Lieberman burchard diperoleh hasil yang negatif

### b. Analisis UV-vis

Analisis UV-Vis bertujuan untuk mengetahui jenis senyawa yang terdapat dalam zat warna berdasarkan panjang gelombang maksimum yaitu pada panjang gelombang 200-600nm. Data hasil analisis zat warna kulit terong ungu pH 2 menunjukkan adanya beberapa puncak (Gambar 4.5) yang disebabkan oleh zat warna yang dianalisis tidak murni sehingga terdapat beberapa jenis senyawa di dalamnya.

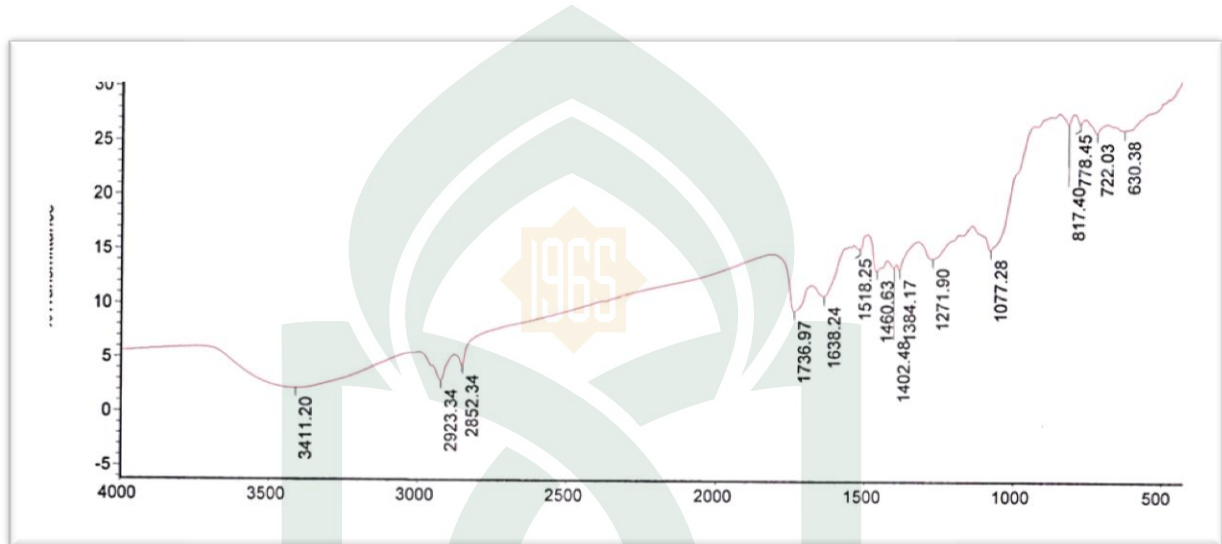
Hasil serapan yang diperoleh ekstrak metanol kulit terong ungu pH 2 mengidentifikasi adanya golongan senyawa flavonoid golongan antosianin. Golongan antosianin terdapat pada panjang gelombang 250-350 nm (Nadya, dkk. 2016). Jika dibandingkan dengan penelitian yang dilakukan sebelumnya oleh (Risna. 2016) yang melakukan tentang penelitian yang sama mendapatkan serapan absorbansi sebesar 475-550 nm. Perbedaan ini dipengaruhi oleh beberapa faktor. Misalnya faktor suhu, pH lama penyimpanan dan faktor-faktor lainnya, sehingga membuat penyerapan absorbansinya berbeda. Hal ini juga dapat disebabkan karena adanya perbedaan jenis antosiani yang terkandung didalamnya dan juga karena penyimpanan ekstrak yang sudah lama membuat sebagian senyawa yang terkandung di dalamnya rusak. Jika dilihat dari penelitian yang dilakukan oleh (Nadya, dkk.2016) yang meneliti tentang zat warna antosianin dengan memvariasikan pH dan lama penyimpanannya. Semakin lama penyimpanan membuat nilai absorbansi yang didapatkan semakin menurun. Hal ini disebabkan karena senyawa antosianin yang sangat reaktif sehingga mudah rusak pada suhu ruang dan lama penyimpanannya.



**Gambar 4.5** Hasil Analisis UV-Vis ekstrak metanol kulit terong ungu pH 2

### c. Analisis FTIR

Analisis dengan FTIR bertujuan untuk mengetahui gugus-gugus fungsi dan jenis ikatan yang terdapat dalam zat warna. Hasil analisis FTIR dapat diperhatikan pada gambar 4.6



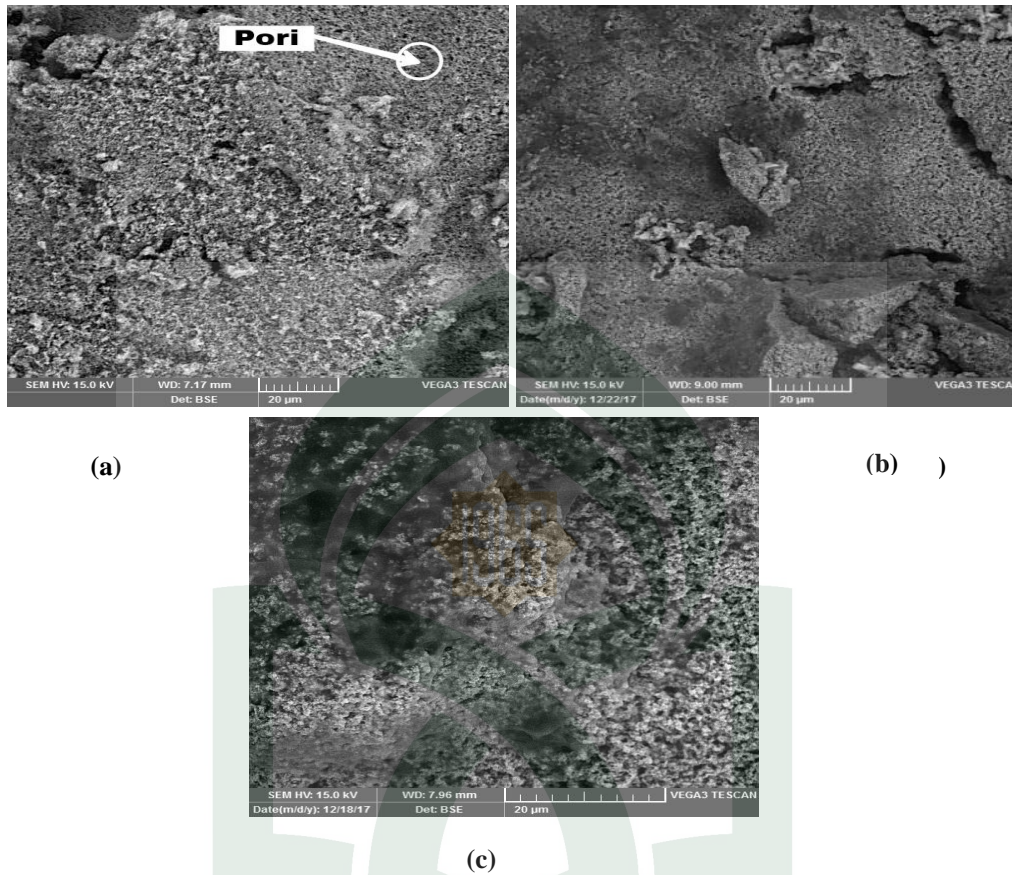
**Gambar 4.6** Hasil Analisis IR ekstrak metanol kulit terong ungu pH 2

Spektrum yang dihasilkan oleh FTIR berupa pita-pita serapan pada bilangan gelombang tertentu. Pita lebar pada bilangan gelombang  $3411,20 \text{ cm}^{-1}$  mengindikasikan adanya vibrasi  $\text{-OH}$  pada group fenol ( $\text{Ar-OH}$ ). Puncak yang tajam terlihat pada bilangan gelombang  $2852,34 \text{ cm}^{-1}$  dan  $2923,34 \text{ cm}^{-1}$  mengindikasikan adanya vibrasi ikatan C-H. Karakterisasi sinyal vibrasi regangan  $1736,97$  mengindikasikan adanya C=O. Pita serapan pada bilangan gelombang  $1638,24 \text{ cm}^{-1}$  mengindikasikan adanya vibrasi ikatan C=C. Vibrasi bengkokan dengan bilangan gelombang  $1384,17 \text{ cm}^{-1}$ - $1460,63 \text{ cm}^{-1}$  adanya C-H diduga jenis senyawa alkana. Hasil yang didapatkan tersebut merujuk pada penelitian yang dilakukan oleh (Risna, 2016) yang meneliti tentang antosianin dari ekstrak kulit terong ungu. Selain itu juga dapat merujuk penelitian

yang dilakukan oleh (Baharuddin dkk, 2016) yang meneliti tentang zat warna antosianin pada daun jati.

## 6. Karakterisasi Morfologi Komponen DSSC

Analisis karakteristik bentuk permukaan  $\text{TiO}_2$  dan bentuk permukaan  $\text{TiO}_2$  yang telah diberi zat warna. Hal ini dilakukan untuk mengetahui pori pada lapisan  $\text{TiO}_2$  dan pengikatan dye pada  $\text{TiO}_2$ . Hasil SEM pada  $\text{TiO}_2$  dan permukaan  $\text{TiO}_2$  yang telah diberi zat warna dapat dilihat pada Gambar 4.7. Struktur nanopori dari  $\text{TiO}_2$  merupakan karakteristik penting untuk aplikasinya dalam DSSC, karena posisi *dye* akan berada pada pori-pori tersebut. Dengan jumlah pori yang banyak yaitu dengan membuat ukurannya menjadi skala nano maka akan memperbanyak jumlah *dye* yang teradsorpsi. Jika dilihat dari hasil yang didapatkan masih terdapat gumpalan-gumpalan pada permukaan  $\text{TiO}_2$  hal ini dikarenakan pada saat preparasi sampel *dye* yang ditetesi pada kaca tidak tercampur secara merata.



**Gambar 4.7.** (a) Morfologi  $\text{TiO}_2$  Perbesaran  $20\ \mu\text{m}$ , (b) Morfologi  $\text{TiO}_2$  yang dilapisi *dye* Perbesaran  $20\ \mu\text{m}$ , (c) Morfologi  $\text{TiO}_2$ , *dye* dan PVA Perbesaran  $20\ \mu\text{m}$



## **BAB V**

### **PENUTUP**

#### **A. Kesimpulan**

Kesimpulan dari penelitian ini adalah sebagai berikut:

1. Nilai efisiensi yang diperoleh dari ekstrak methanol kulit terong ungu sebesar 0,069%
2. Nilai efisiensi tertinggi yang diperoleh dari ekstrak kulit terong ungu yang telah distabilkan pada pH 2 di hari pertama sebesar 0,71%
3. Nilai efisiensi tertinggi yang diperoleh dari ekstrak kulit terong ungu dan  $\text{TiO}_2$  yang terstabilkan pada pH 2 di hari pertama sebesar 0,161%

#### **B. Saran**

Saran untuk peneliti-peneliti DSSC selanjutnya yaitu, perlu dilakukan uji stabilitas zat warna dengan bervariasi pH, waktu dan suhu agar dapat dilihat perbandingan nilai efisiensi zat warna tanpa pengaruh stabilitas.



## DAFTAR PUSTAKA

Al-Qur'an al-Karim

- Agustin Sustia, Doty Dewi Risanti, Dyah Sawitra. "Fabrikasi DSSC Berdasarkan Fraksi Volume TiO<sub>2</sub> Anatase-Rutile dengan Garcinia Mangostana dan Rhoec Spatchae sebagai Dye Fotosensitizer". *Jurnal Teknik Pomits* vol. 2, no. 2 (2013) h. 131
- Ahliha Aziza Hfii, dkk. "Kajian pH Klorofil Terhadap Ikatan Kimia Dye pada TiO<sub>2</sub> sebagai Aplikasi *Dye Sensitized Solar Cell* (DSSC)" *Jurnal Fisika dan Aplikasinya*. vol. 14, no. 1 (2018) h: 16-20
- Aisyah, dkk. "Pengaruh Kandungan Senyawa pada Ekstrak Daun Ketapangn-Heksan, Etil Asetat, Metanol dan Campuran Terhadap Nilai Efisiensi *Dye Sensitized Solar Cell* (DSSC)" *Jurnal Al Kimia*. vol.5, no.2 (2017) h: 170-180
- Anggraeni, Nuha Desi . "Analisa SEM (*Scanning Electron Microscopy*) dalam Pemantauan Proses Oksidasi Magnetite Menjadi Hematite" *Jurnal Rekayasa dan Aplikasi Teknik Mesin di Industri* TENAS vol. 4, no. 1 (2008) h:1-9
- Asy'ari Hasyim, Abdul Rozaq, Feri Setia Putra. "Pemanfaatan Solar Cell Dengan PLN Sebagai Sumber Energi Listrik Rumah Tinggal". *Jurnal Emitor* vol. 14, no. 01 (2014) h:1-7
- Ardianto Rino dkk. "Uji Kinerja *Dye Sensitizer Solar Cell* (DSSC) Menggunakan Lapisan Capative Touchscreen Sebagai Substrat dan Ekstrak Korofil Nannochloropis Sp. Sebagai *Dye Sensitizer* dengan Variasi Ketebalan Pasta TiO<sub>2</sub>" *Keteknikan Pertanian Tropis dan Biosistem*. Vol.3, no. 3 (2015) h: 325-330
- Atmanegara Pungki, Bangun Muljo Sukojo. "Analisis Perbandingan Klorofil Menggunakan Metode Mcari dan Tcari (Wilayah Studi: Kabupaten Karawang Jawa Barat)" *Jurnal Teknik Pomits*, vol. 2, no. 1 (2013) h: 8-12
- Ayu Fauziah Nadiya, dkk. "Ekstraksi dan Uji Stabilitas Zat Warna dari Kulit Buah Alpukat (*Pesea Americana* Mill) dengan Metode Spektroskopi UV-Vis" *Jurnal Atomik*, vol. 1, no. 1 (2016) h: 23-27
- Baharuddin Aming, dkk. "Karakterisasi Zat Warna Daun Jati (*Tectona grandis*) Fraksi Metanol:n-Heksana Sebagai *Photosensitizer* pada *Dye Sensitized Solar Cell* (DSSC)". *Jurnal Cemica et Natura Acta*. vol.3, no. 1 (2015) h: 37-41
- Bintang Maria. *Biokimia Teknik Penelitian*. Jakarta: Erlangga, 2010
- Baqi Abdul. "Simulasi Performa *Dye Sensitize Sollar Cell* (DSSC) Berbasis Semikonduktor ZnO-SiO<sub>2</sub>" *Skripsi UIN Malang*, (2016) h: 1-12
- Brabec, Christop J, dkk. "Plastic Solar Cell" *Jurnal Adv. Matervol*.11, no. 1 (2001) h: 15-26

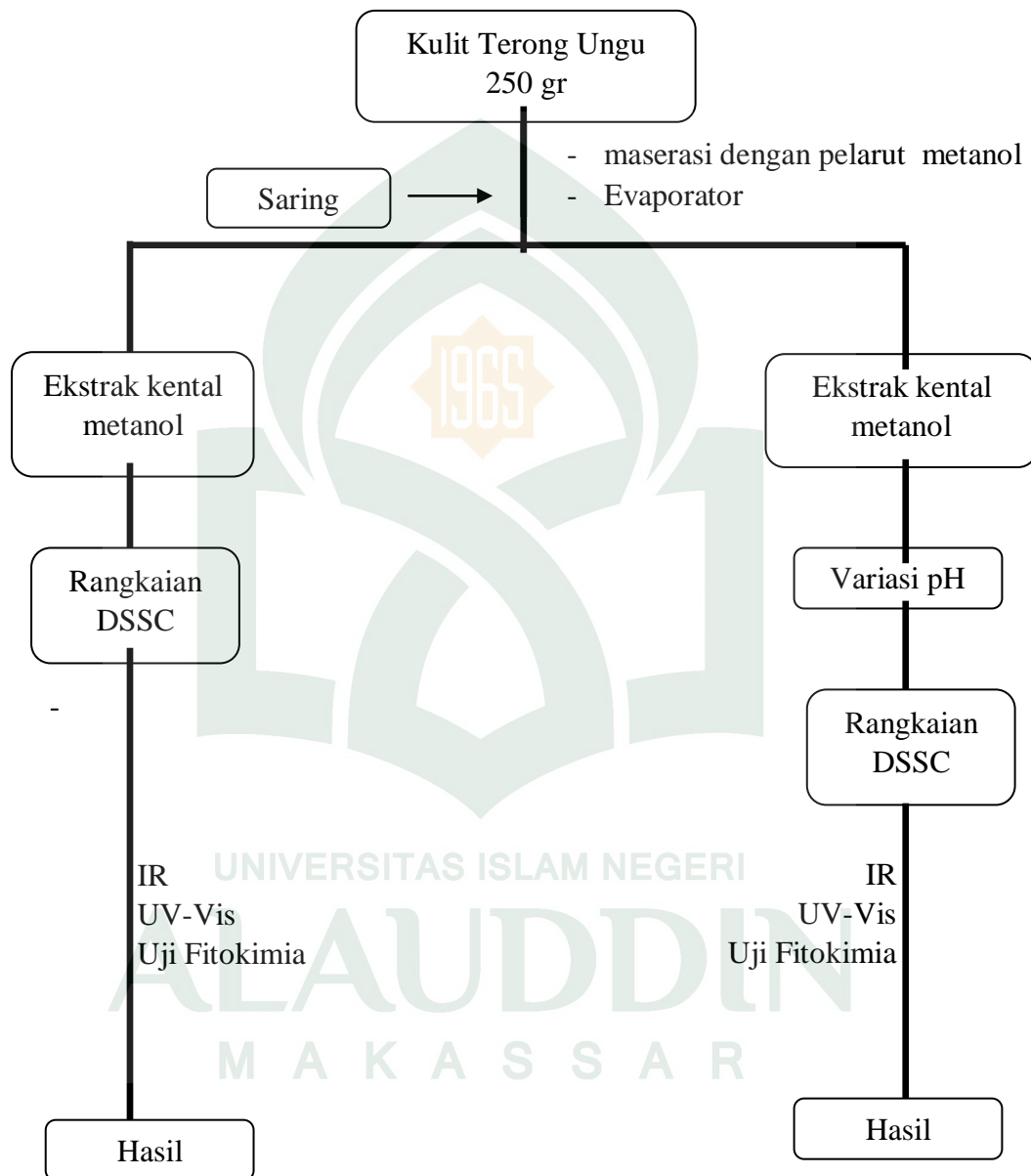
- Dahlan Dahyunir dkk. "Dye Sensitized Solar Cell (DSSC) dengan Sensitiser Dye Alami Daun Pandan, Akar Kunyit, dan Biji Beras Merah (Black Rice)" *Jurnal Ilmu Fisika (JIF)* vol. 8, no. 1(2016) h:1-7
- Darmaja Hendra, dkk. "Pembuatan Prototipe DSSC Berbasis Nanopori TiO<sub>2</sub> Memanfaatkan Ekstrak Antosianin Kol Merah" *Jurnal Mathematics and sciences* vol. 1, no. 5 (2014) h: 35-37
- Gunawan Budi, Citra Dewi Azhari. "Karakteristik Spektrofotometri IR dan Scanning Electron Mikrocropy (SEM) Sensor Gas Dari Baha Polier Poly Ethelyn Glycol (PEG)" *Jurnal Teknologi dan Sains Kimia*, vol. 1, no. 2(2012) h: 1-7
- Gratzel, Michael. "Dye Sensitized Solar Cell" *Photochemistry Reviews* 4 (2003) h: 145-153
- Fatonah, Nur. "Uji Stabilitas Zat Warna Ekstrak Buah Sengani". *Jurnal Sains dan Matematika*. vol. 5, no. 1, (2016). h: 29-35.
- Haeria, *Kimia Produk Alam*. Makassar: UIN Alauddin Press. 2014)
- Hardeli. Dkk., "Dye Sensitized Solar Sel (DSSC) Berbasis Nanopori TiO<sub>2</sub> Menggunakan Antosianin Dari Berbagai Sumber Alami". *Jurnal FMIPA UNP*, (2013) h: 155-156
- Hardian Arie, dkk. "Sintesis dan Karakterisasi Kristal Cair Ionik Berbasis Garam Fatty Imidazolinium Sebagai Elektrolit Redoks pada Sel Surya Tersensitisasi Zat Warna" *Jurnal Sains dan Teknologi Kimia*, vol. 1, no. 1 (2014) h: 7-8
- Hendri, Martinus. Dkk, "Pengaruh Pupuk Kandang Sapi dan Pupuk NPK Mutiara Terhadap Pertumbuhan dan Hasil Tanaman Terong Ungu (*Solanum melongena*.L)". *Jurnal AGRIFOR* Vol. XIV.2 (2015) h: 27-35
- Istiqomah, "Perbandingan Metode Ekstraksi Maserasi dan Sokletasi Terhadap Kadar Piperin Buan Cabe Jawa" *Skripsi UIN Syarif Hidayatullah*, (2013) h: 1-13.
- Kaova Latifa Azyedara, Ahmad Mudzakkir. "Grafrit Limbah Baterei Terdispersi Cairan Ionik-Kristal Cair Ionik Sebagai Sel Surya Tersensitisasi Zat Wana (Dye Sensitized Solas Cell)". *Jurnal Penelitian*, (2012) h: 2-9
- Kementrian Agama RI. *Alquran dan Terjemahan*. Jakarta: Raja Rur'any Jaya, 2012
- Linsebigler, Amy L, dkk. "Photocatalisis on TiO<sub>2</sub> Surfaces: Pricipes, Mechanisms, and Selected Results" *Chemistry Rev* 95 (1995) h: 735-758
- Maming Muhammad Shiddiq, dkk. "Karakterisasi Zat Warna Cabe Merah (*Capsicum annum* L) Fraksi Metanol: N-Heksana sebagai *Photosensitizer* dalam Aplikasi *Dye Sensitized Solar Cell*" *Skripsi UIN Alauddin Makassar* (2016) h: 36-47
- Marthua Sahat Reynard Nadeak, Diah Susanti. "Variasi Temperatur dan Waktu Tahan kalsinasi terhadap Unjuk Kerja Semikonduktor TiO<sub>2</sub> sebagai Dye" *Jurnal Tehnik ITS*, vol. 1, no. 2 (2012) h: 50-56
- Misbachuddin Mochamad Chourul, dkk. "Pembuatan Prototipe *Dye Sensitized Solar Cel* (DSSC) dengan Memanfaatkan Ekstrak Antosianin Strawberry" *Jurnal Prosiding Seminar Nasional Sains dan Pendidikan Sains*. vol. 4, no. 1 (2013)

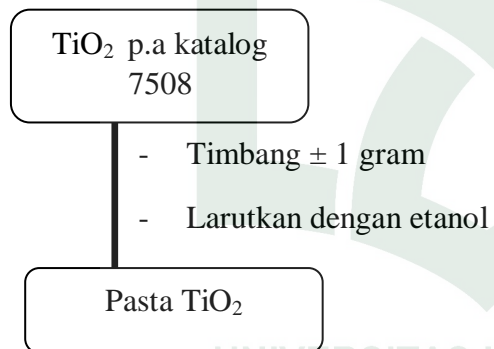
- Muhammad Samsuddin Asep. "Ekstraksi Filtrasi Membran dan Uji Stabilitas Zat Warna dari Kulit Manggis (*Garcinia mangistana*). *Jurnal Atomik* vol. 1, no. 2 (2016) h:4-8
- Mulyani Okti dan Astuti. "Sintesis Sel Surya Tersensitisasi Pewarna (SSTP) Ekstrak Antosianin Buah Delima (*Punica Granatum*) dengan Metode Sol-GEL-SPIN COATING" *Jurnal Fisika Unand* vol. 3, no. 2(2014).h: 84-88
- Parisa, Setareh. Dkk. "Effect f Heatin, UV Irradiation and pH On Stability of the Anthocyanin Copigment Complex". *Pakistaan Journal of Biological Sciences*. Vol. 10, no. 2 (2007) h: 267-272.
- Perdana. Indera C, Diah Astuti. "Analisis Pengaruh Komposisi Graphene TiO<sub>2</sub> Terhadap Unjuk Kerja DSSC" *Jurnal Teknik Pomits* vol. 2, no. 1 (2013) h: 83-88
- Prananto dkk., "Dye Sensitizer Solar Cell (DSSC) Berbahan Dasar Klorofil Daun Cincau Sebagai Fotosensitizer" *Jurnal Seminar Nasional Fisika Universitas Negeri Jakarta*, (2013) h: 30-38
- Purnama Angga dkk. "Sintesis Ni-TiO<sub>2</sub> dengan Metode SOL-GEL dan Uji Aktivitasnya Pada Dekomposisi Air" *Indonesian Journal Of Chemical Science*, vol. 2, no. 3 (2013) h: 1-7
- Risnah Indah Ayu. "Karakterisasi Zat Warna Kulit Terong Ungu (*Solanium melongona* L) dalam Suasana Basa Sebagai Photosensitizer Pada *Dye Sensitized Solar Cell*" *Skripsi UIN Alauddin Makassar*, (2016) h: 36-47
- Riyani Kapti, Tien Setyaningtyas, Dian Windy Dwiasi. "Syntesis dan Karakterisasi Fotokatalis TiO<sub>2</sub>-Cu" *Jurnal Matematika dan Sains*, vol. 2, no. 1 (2015) h: 104-111
- Rukmanasari Refilia. "Efe Ekstrak Kuli Terong Ungu (*Solanium Melongena* L) Terhadap Kadar LDL dan HDL darah Tikus Putih". *Skripsi USM*, (2010) h: 1-10
- Rusdiana Dadi. "Pembuatan Sel Surya TiO<sub>2</sub> Nanokristal Berbahab Dasar Antosianin Sebagai Material Dye" *Prossiding Pertemuan Ilmiah Yogyakarta* (2014) h: 81-83
- Rusman, " Pengaruh Variasi Beban Terhadap Efisiensi Solar Cell dengan Kapasitas 50 WP" *Jurnal Teknik Mesin Universitas Muhammadiyah Metro* Vol. 4 No. 2 (2015).
- Samsuddin, Asep Muhammad. "Ekstraksi, Filtrasi Membran dan Uji Stabilitas Zat Warna dari Kulit Manggis". *Jurnal Sains dan Tehnik*. vol. 1, no. 2 (2009). h. 2-7.
- Satyatama. Dian Indrayani. "Pengaruh Kopimentasi Terhadap Stabilitas Warna Antosianin Buah Duwet". *Tesis Institut Pertanian Bogor*. (2008). h. 1-138.
- Setiadji Soni, Atthar Luqman Ifansyah, Bio Insan Akbar. "Studi Komputasi Senyawa Dopamin dan Dopamin TI (OH)<sub>2</sub> untuk Aplikasi Sel Surya Tersensitasi Zat Warna". *Jurnal Teknologi Technoscintia*, vol. 9, no. 2, (2015) h: 205-207

- Septina, Wilman. Dkk. "Pembuatan Prototipe Solar Cell Murah dengan Bahan Organik-Inorganik (*Dye Sensitized Solar Cell*)". *Laporan Penelitian Bidang Energi*. (2007) h. 1-53
- Shihab, M.Quraish. *Tafsir Al-Misbah: Pesan, Kesan Dan Keserasian Al-Qur'an*. Jakarta: Lentera Hati. 2002.
- Supratman Unang. *Elusidasi Struktur Senyawa Organik Metode Spektroskopi untuk Penentuan Struktur Senyawa Organik*. Bandung: Widya Padjadjaran. 2010
- Subadro Rohmat, Ari Handono Ramelan. "Sintesa Titanium ( $\text{TiO}_2$ ) Untuk Dye Sensitized Silar Cell (DSSC)". *Jurnal Politeknosains*, (2012) h: 32-34
- Subandi dan Slamet Hani. "pembangkit Listrik Energi Matahari sebagai Penggerak Pompa Air dengan Menggunakan Solar Cell" *Teknologi Tecnoscientia*. 7 no 2 h: 157-163 (2015).
- Swami, Rashmi. "Solar Cell" *International Journal Of Scientific and Research Publication*, vol. 2, no. 7 (2012) h: 1-5
- Shah,A, dkk. "*Photovoltaic Tecnology The Caser For Thin Film Solar Cell*" *Institute Of Microtecnology* vol. 1, no. 2 (2000) h: 1-7
- Wahab, Nur Hasbi. "Karakterisasi Zat Warna Tomat Fraksi Metanol:N-Heksan Sebagai Photosensitizer pada DSSC" Skripsi UIN Alauddin. (2016) h. 40-60
- Yulia Ade Kusuma, Sigit Priatmoko, Sri Wahyuni. "Elektroda Solar Cell Berbasis Komposit  $\text{TiO}_2$  / $\text{SiO}_2$  Sebagai Energi Alternatif Terbaru". *Jurnal Indonesia Of Chemical Science* vol. 1, no. 2 (2012) h: 92-93

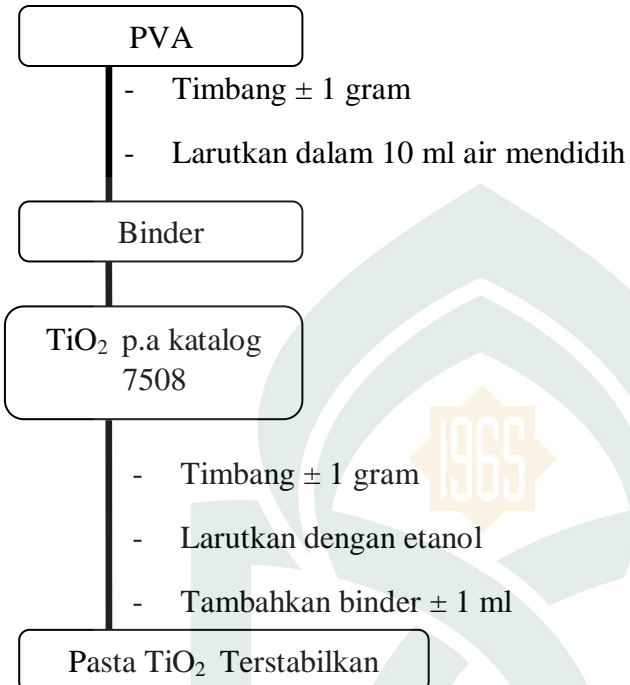
## LAMPIRAN

## LAMPIRAN 1 : Diagram Alir Penelitian

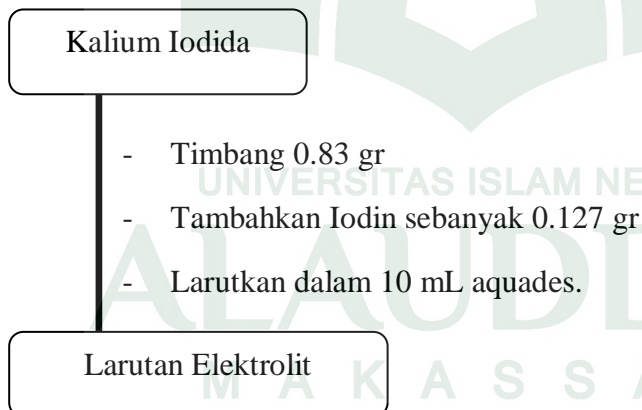


**LAMPIRAN 2 : Diagram Alir Prosedur Kerja****1. Ekstraksi Senyawa pada Kulit terong ungu****2. Preparasi TiO<sub>2</sub>****a. TiO<sub>2</sub> Biasa**

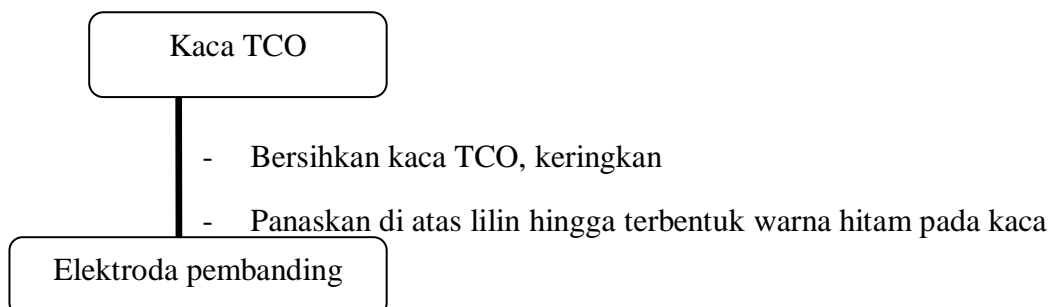
### b. TiO<sub>2</sub> Terstabilkan



### 3. Pembuatan Larutan Elektrolit

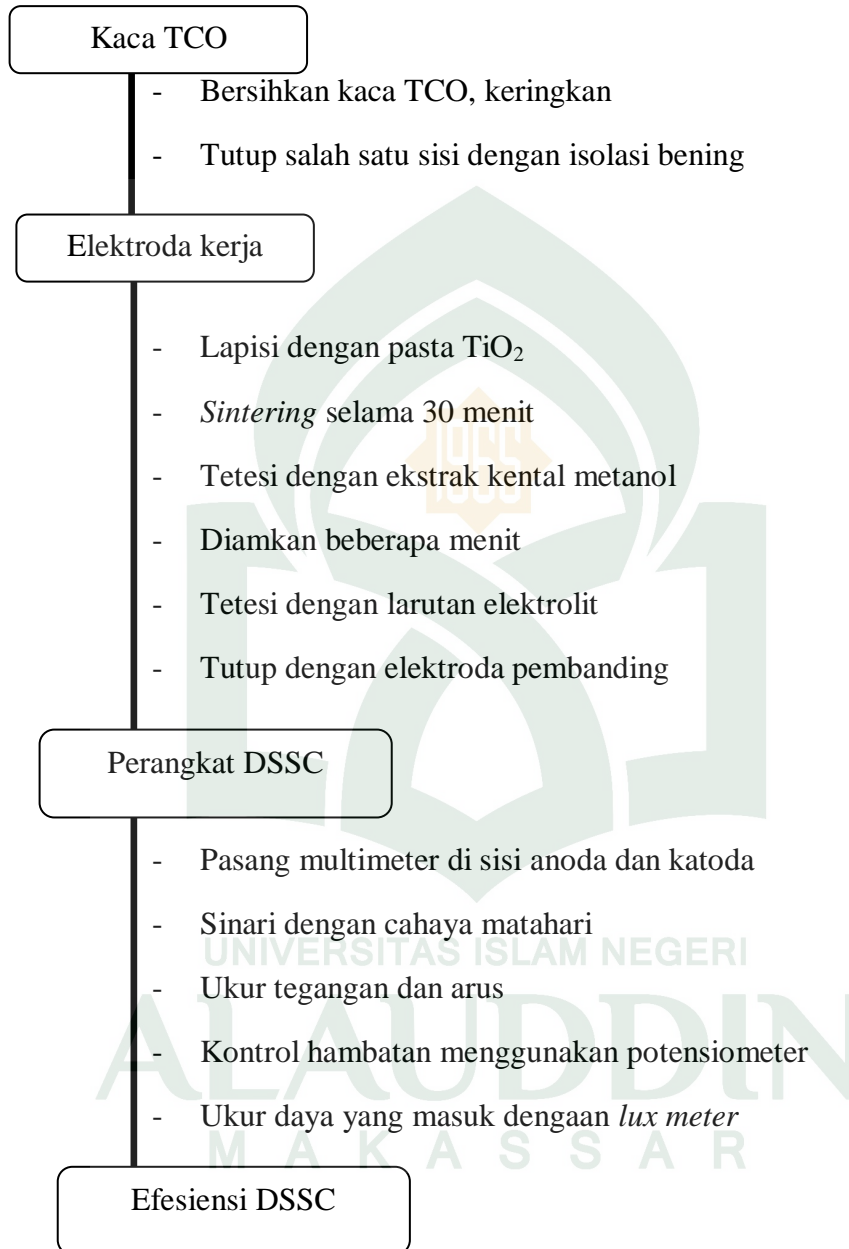


### 4. Pembuatan Elektroda Pembanding





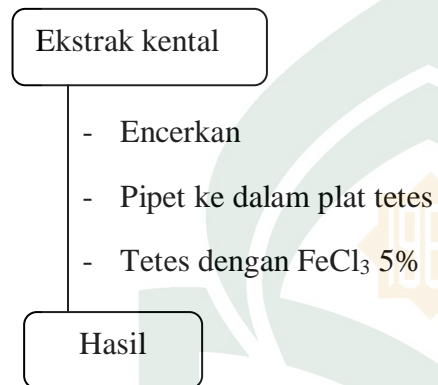
## 5. Rangkaian DSSC



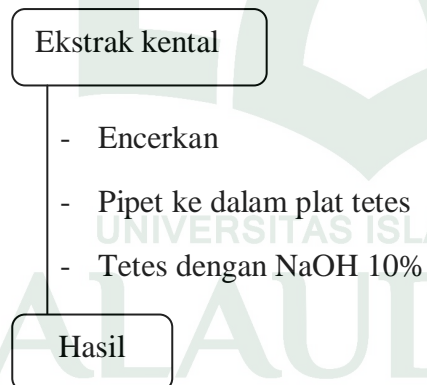
## 6. Karakterisasi Senyawa Kulit Terong Ungu

### a. Uji Fitokimia

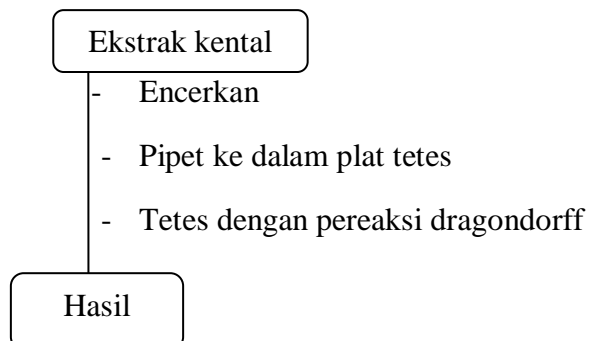
#### 1) Uji dengan $\text{FeCl}_3$ 5%



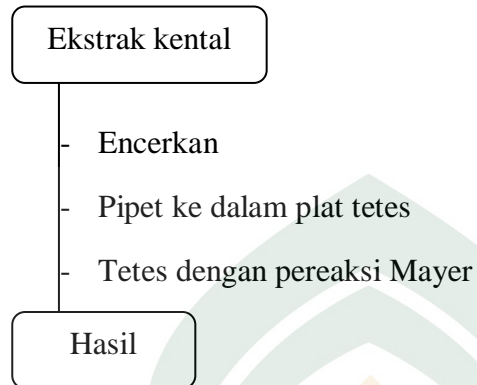
#### 2) Uji dengan $\text{NaOH}$ 10%



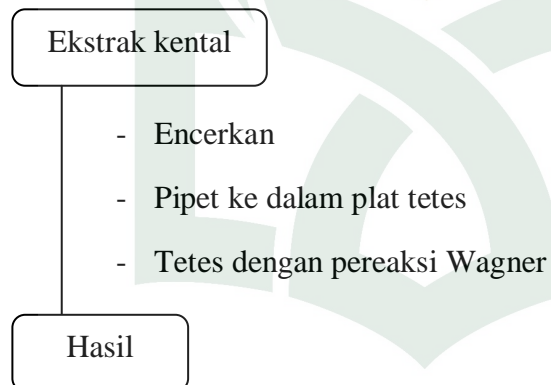
#### 3) Uji dengan Pereaksi Dragondorf



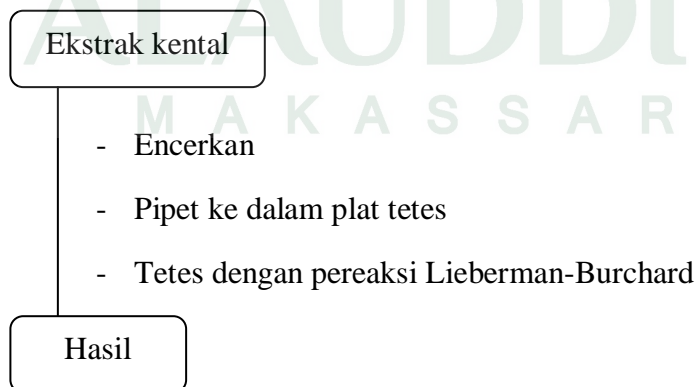
## 4) Uji dengan Pereaksi Mayer

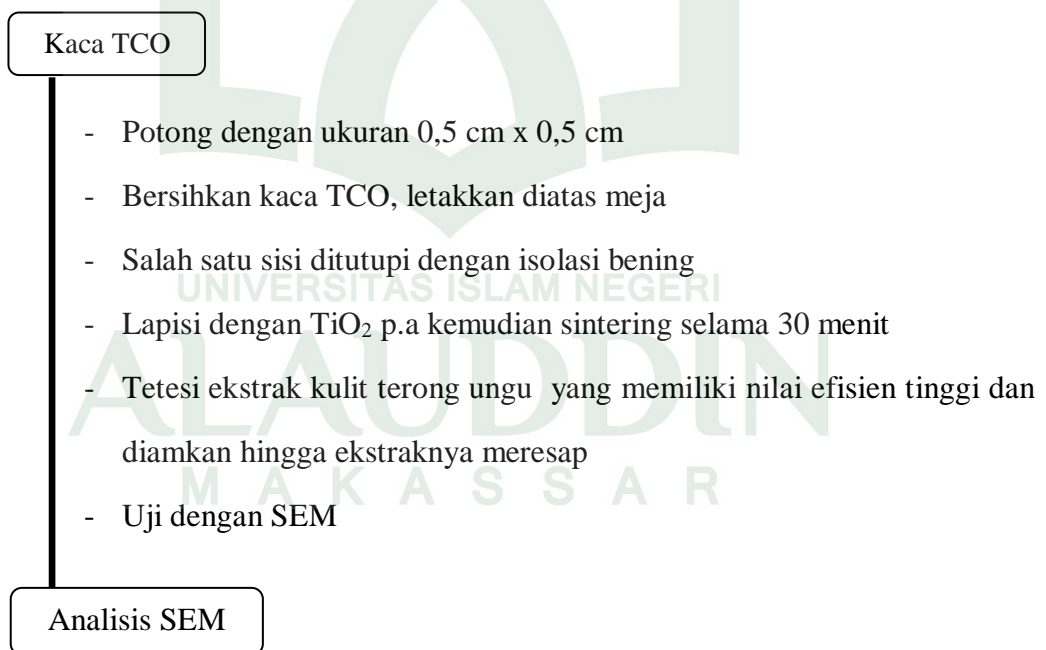


## 5) Uji dengan Wagner



## 6) Uji dengan pereaksi Lieberman-Burchard



**b. Analisis UV-Vis dan FTIR****7. Uji Scanning Electron Microscopy (SEM)**

## LAMPIRAN 3:

**DATA PENGUKURAN NILAI EFESIENSI EKSTRAK METANOL  
KULIT TERONG UNGU**

V (mV)	I ( $\mu$ A)	lux	Lux	$P_{in}$ (mwatt/cm <sup>2</sup> )	$P_{out}$ (nw)	$P_{out}$ (mw)	$\eta$ (%)
267	5.8	642	64200	9.39888	1548.6	0.001549	0.016476
249	12.8	642	64200	9.39888	3187.2	0.003187	0.03391
238	17.6	642	64200	9.39888	4188.8	0.004189	0.044567
<b>235</b>	<b>27.8</b>	<b>642</b>	<b>64200</b>	<b>9.39888</b>	<b>6533</b>	<b>0.006533</b>	<b>0.069508</b>
187	32.4	642	64200	9.39888	6058.8	0.006059	0.064463

**Tabel Pengukuran Nilai Efisiensi Ekstrak Kulit Terong Ungu**

**Tabel Pengukuran Nilai Efisiensi Kulit Terong Ungu yang terstabilkan Hari Ke-1**

V (mV)	I ( $\mu$ A)	lux	Lux	$P_{in}$ (mwatt/cm <sup>2</sup> )	$P_{out}$ (nw)	$P_{out}$ (mw)	$\eta$ (%)
267	6	854	85400	12.50256	1602	0.001602	0.012813
257	14.9	854	85400	12.50256	3829.3	0.003829	0.030628
212	36.7	854	85400	12.50256	7780.4	0.00778	0.06223
<b>120</b>	<b>93.1</b>	<b>854</b>	<b>85400</b>	<b>12.50256</b>	<b>11172</b>	<b>0.011172</b>	<b>0.089358</b>
100	98.8	854	85400	12.50256	9880	0.00988	0.079024

(pH0)

**Tabel Pengukuran Nilai Efisiensi Kulit Terong Ungu yang terstabilkan (pH 2)**

V (mV)	I ( $\mu$ A)	lux	Lux	$P_{in}$ (mwatt/cm <sup>2</sup> )	$P_{out}$ (nw)	$P_{out}$ (mw)	$\eta$ (%)
633	13	597	59700	8.74008	8229	0.008229	0.094152
<b>589</b>	<b>105.4</b>	<b>597</b>	<b>59700</b>	<b>8.74008</b>	<b>62080.6</b>	<b>0.0620806</b>	<b>0.710298</b>
496	91.2	597	59700	8.74008	45235.2	0.0452352	0.51756
335	86.1	597	59700	8.74008	28843.5	0.0288435	0.330014

**Tabel Pengukuran Nilai Efisiensi Kulit Terong Ungu yang terstabilkan (pH 4)**

V (mV)	I ( $\mu$ A)	lux	Lux	$P_{in}$ (mwatt/cm <sup>2</sup> )	$P_{out}$ (nw)	$P_{out}$ (mw)	$\eta$ (%)
328	24.8	590	59000	8.6376	8134.4	0.008134	0.094174
<b>184</b>	<b>189.7</b>	<b>590</b>	<b>59000</b>	<b>8.6376</b>	<b>34904.8</b>	<b>0.034905</b>	<b>0.404103</b>
183	188.4	590	59000	8.6376	34477.2	0.034477	0.399153
180	179.3	590	59000	8.6376	32274	0.032274	0.373645

Tabel Pengukuran Nilai Efisiensi Kulit Terong Ungu yang terstabilkan (pH 6)

V (mV)	I ( $\mu$ A)	lux	Lux	$P_{in}$ (mwatt/cm <sup>2</sup> )	$P_{out}$ (nw)	$P_{out}$ (mw)	$\eta$ (%)
606	12.5	589	58900	8.62296	7575	0.007575	0.087847
588	26.4	589	58900	8.62296	15523.2	0.015523	0.180022
379	70.3	589	58900	8.62296	26643.7	0.026644	0.308986
<b>319</b>	<b>135.6</b>	<b>589</b>	<b>58900</b>	<b>8.62296</b>	<b>43256.4</b>	<b>0.043256</b>	<b>0.501642</b>
289	119.3	589	58900	8.62296	34477.7	0.034478	0.399836

Tabel Pengukuran Nilai Efisiensi Kulit Terong Ungu yang terstabilkan (pH 8)

V (mV)	I ( $\mu$ A)	lux	Lux	$P_{in}$ (mwatt/cm <sup>2</sup> )	$P_{out}$ (nw)	$P_{out}$ (mw)	$\eta$ (%)
605	12.4	440	44000	6.4416	7502	0.007502	0.116462
599	13.2	440	44000	6.4416	7906.8	0.007907	0.122746
494	30.3	440	44000	6.4416	14968.2	0.014968	0.232368
<b>367</b>	<b>58.9</b>	<b>440</b>	<b>44000</b>	<b>6.4416</b>	<b>21616.3</b>	<b>0.021616</b>	<b>0.335573</b>
352	59.9	440	44000	6.4416	21084.8	0.021085	0.327322

Tabel Pengukuran Nilai Efisiensi Kulit Terong Ungu yang terstabilkan Hari ke-2 (pH 0)

V (mV)	I ( $\mu$ A)	lux	Lux	$P_{in}$ (mwatt/cm <sup>2</sup> )	$P_{out}$ (nw)	$P_{out}$ (mw)	$\eta$ (%)
179	2.1	553	55300	8.09592	375.9	0.000376	0.004643
140	6.9	553	55300	8.09592	966	0.000966	0.011932
135	8.3	553	55300	8.09592	1120.5	0.001121	0.01384
<b>68</b>	<b>34.5</b>	<b>553</b>	<b>55300</b>	<b>8.09592</b>	<b>2346</b>	<b>0.002346</b>	<b>0.028978</b>
66	32.6	553	55300	8.09592	2151.6	0.002152	0.026576

Tabel Pengukuran Nilai Efisiensi Kulit Terong Ungu yang terstabilkan (pH 2)

V (mV)	I ( $\mu$ A)	lux	Lux	$P_{in}$ (mwatt/cm <sup>2</sup> )	$P_{out}$ (nw)	$P_{out}$ (mw)	$\eta$ (%)
329	6.9	532	53200	0.778848	2270.1	0.00227	0.291469
251	8.5	532	53200	0.778848	2133.5	0.002134	0.27393
188	19.7	532	53200	0.778848	3703.6	0.003704	0.475523
<b>183</b>	<b>21.9</b>	<b>532</b>	<b>53200</b>	<b>0.778848</b>	<b>4007.7</b>	<b>0.004008</b>	<b>0.514568</b>
182	22	532	53200	0.778848	4004	0.004004	0.514093

Tabel Pengukuran Nilai Efisiensi Kulit Terong Ungu yang terstabilkan (pH 4)

V (mV)	I ( $\mu$ A)	lux	Lux	$P_{in}$ (mwatt/cm <sup>2</sup> )	$P_{out}$ (nw)	$P_{out}$ (mw)	$\eta$ (%)
350	14	500	50000	7.32	4900	0.0049	0.06694
299	62.4	500	50000	7.32	18657.6	0.018658	0.254885
294	64.8	500	50000	7.32	19051.2	0.019051	0.260262
<b>276</b>	<b>88.3</b>	<b>500</b>	<b>50000</b>	<b>7.32</b>	<b>24370.8</b>	<b>0.024371</b>	<b>0.332934</b>
262	82.9	500	50000	7.32	21719.8	0.02172	0.296719

Tabel Pengukuran Nilai Efisiensi Kulit Terong Ungu yang terstabilkan (pH 6)

V (mV)	I ( $\mu$ A)	lux	Lux	$P_{in}$ (mwatt/cm <sup>2</sup> )	$P_{out}$ (nw)	$P_{out}$ (mw)	$\eta$ (%)
158	3.3	426	42600	6.23664	521.4	0.000521	0.00836
140	5.3	426	42600	6.23664	742	0.000742	0.011897
137	5.4	426	42600	6.23664	739.8	0.00074	0.011862
<b>119</b>	<b>22.5</b>	<b>426</b>	<b>42600</b>	<b>6.23664</b>	<b>2677.5</b>	<b>0.002678</b>	<b>0.042932</b>
114	20.9	426	42600	6.23664	2382.6	0.002383	0.038203

Tabel Pengukuran Nilai Efisiensi Kulit Terong Ungu yang terstabilkan (pH 8)

V (mV)	I ( $\mu$ A)	lux	Lux	$P_{in}$ (mwatt/cm <sup>2</sup> )	$P_{out}$ (nw)	$P_{out}$ (mw)	$\eta$ (%)
297	4.1	530	53000	7.7592	1217.7	0.001218	0.015694
198	42.8	530	53000	7.7592	8474.4	0.008474	0.109217
170	54.9	530	53000	7.7592	9333	0.009333	0.120283
<b>148</b>	<b>88.3</b>	<b>530</b>	<b>53000</b>	<b>7.7592</b>	<b>13068.4</b>	<b>0.013068</b>	<b>0.168425</b>
137	94	530	53000	7.7592	12878	0.012878	0.165971

Tabel Pengukuran Nilai Efisiensi Kulit Terong Ungu yang terstabilkan Hari ke-3 (pH 0)

V(mV)	I( $\mu$ A)	lux	Lux	$P_{in}$ (mwatt/cm <sup>2</sup> )	$P_{out}$ (nw)	$P_{out}$ (mw)	$\eta$ (%)
207	4.3	747	74700	10.93608	890.1	0.00089	0.008139
198	5	747	74700	10.93608	990	0.00099	0.009053
181	6	747	74700	10.93608	1086	0.001086	0.00993
168	7.9	747	74700	10.93608	1327.2	0.001327	0.012136
<b>127</b>	<b>11.2</b>	<b>747</b>	<b>74700</b>	<b>10.93608</b>	<b>1422.4</b>	<b>0.001422</b>	<b>0.013006</b>
115	12	747	74700	10.93608	1380	0.00138	0.012619



Tabel Pengukuran Nilai Efisiensi Kulit Terong Ungu yang terstabilkan (pH 2)

V(mV)	I( $\mu$ A)	lux	Lux	$P_{in}$ (mwatt/cm <sup>2</sup> )	$P_{out}$ (nw)	$P_{out}$ (mw)	$\eta$ (%)
350	7.3	764	76400	11.18496	2555	0.002555	0.022843
299	44.6	764	76400	11.18496	13335.4	0.013335	0.119226
273	61.8	764	76400	11.18496	16871.4	0.016871	0.15084
<b>241</b>	<b>75</b>	<b>764</b>	<b>76400</b>	<b>11.18496</b>	<b>18075</b>	<b>0.018075</b>	<b>0.161601</b>
227	79.4	764	76400	11.18496	18023.8	0.018024	0.161143

Tabel Pengukuran Nilai Efisiensi Kulit Terong Ungu yang terstabilkan (pH 4)

V (mV)	I ( $\mu$ A)	lux	Lux	$P_{in}$ (mwatt/cm <sup>2</sup> )	$P_{out}$ (nw)	$P_{out}$ (mw)	$\eta$ (%)
216	4.1	769	76900	11.25816	885.6	0.000886	0.007866
195	15.9	769	76900	11.25816	3100.5	0.003101	0.02754
185	21.3	769	76900	11.25816	3940.5	0.003941	0.035001
<b>141</b>	<b>53.6</b>	<b>769</b>	<b>76900</b>	<b>11.25816</b>	<b>7557.6</b>	<b>0.007558</b>	<b>0.06713</b>
108	64.4	769	76900	11.25816	6955.2	0.006955	0.061779

Tabel Pengukuran Nilai Efisiensi Kulit Terong Ungu yang terstabilkan (pH 6)

V (mV)	I ( $\mu$ A)	lux	Lux	$P_{in}$ (mwatt/cm <sup>2</sup> )	$P_{out}$ (nw)	$P_{out}$ (mw)	$\eta$ (%)
107	2.2	738	73800	10.80432	235.4	0.000235	0.002179
90	7	738	73800	10.80432	630	0.00063	0.005831
86	7.5	738	73800	10.80432	645	0.000645	0.00597
70	25	738	73800	10.80432	1750	0.00175	0.016197
<b>59</b>	<b>44.3</b>	<b>738</b>	<b>73800</b>	<b>10.80432</b>	<b>2613.7</b>	<b>0.002614</b>	<b>0.024191</b>
54	47.1	738	73800	10.80432	2543.4	0.002543	0.023541

Tabel Pengukuran Nilai Efisiensi Kulit Terong Ungu yang terstabilkan (pH 8)

V (mV)	I ( $\mu$ A)	lux	Lux	$P_{in}$ (mwatt/cm <sup>2</sup> )	$P_{out}$ (nw)	$P_{out}$ (mw)	$\eta$ (%)
257	5.6	689	68900	10.08696	1439.2	0.001439	0.014268
220	20.2	689	68900	10.08696	4444	0.004444	0.044057
<b>200</b>	<b>59.1</b>	<b>689</b>	<b>68900</b>	<b>10.08696</b>	<b>11820</b>	<b>0.01182</b>	<b>0.117181</b>
152	62.4	689	68900	10.08696	9484.8	0.009485	0.09403

**Tabel pengukuran nilai efisiensi kulit terong ungu dan TiO<sub>2</sub> yang terstabilkan hari ke 1 (pH 0)**

V (mV)	I (μA)	lux	Lux	P <sub>in</sub> (mwatt/cm <sup>2</sup> )	P <sub>out</sub> (nw)	P <sub>out</sub> (mw)	η (%)
302	11.6	692	69200	10.13088	3503.2	0.003503	0.034579
245	51.8	692	69200	10.13088	12691	0.012691	0.12527
<b>151</b>	<b>108.6</b>	<b>692</b>	<b>69200</b>	<b>10.13088</b>	<b>16398.6</b>	<b>0.016399</b>	<b>0.161867</b>
119	111.3	692	69200	10.13088	13244.7	0.013245	0.130736
113	109.1	692	69200	10.13088	12328.3	0.012328	0.12169

**Tabel pengukuran nilai efisiensi kulit terong ungu dan TiO<sub>2</sub> yang terstabilkan hari ke 1 (pH 2)**

V (mV)	I (μA)	lux	Lux	P <sub>in</sub> (mwatt/cm <sup>2</sup> )	P <sub>out</sub> (nw)	P <sub>out</sub> (mw)	η (%)
82	1.4	692	69200	10.13088	114.8	0.000115	0.001133
60	2.6	692	69200	10.13088	156	0.000156	0.00154
<b>55</b>	<b>2.7</b>	<b>692</b>	<b>69200</b>	<b>10.13088</b>	<b>148.5</b>	<b>0.000149</b>	<b>0.001466</b>
51	2.8	692	69200	10.13088	142.8	0.000143	0.00141

**Tabel pengukuran nilai efisiensi kulit terong ungu dan TiO<sub>2</sub> yang terstabilkan hari ke 1 (pH 4)**

V (mV)	I (μA)	lux	Lux	P <sub>in</sub> (mwatt/cm <sup>2</sup> )	P <sub>out</sub> (nw)	P <sub>out</sub> (mw)	η (%)
54	1.2	895	89500	13.1028	64.8	0.0000648	0.000495
45	6.1	895	89500	13.1028	274.5	0.0002745	0.002095
<b>43</b>	<b>6.5</b>	<b>895</b>	<b>89500</b>	<b>13.1028</b>	<b>279.5</b>	<b>0.0002795</b>	<b>0.002133</b>
40	6.9	895	89500	13.1028	276	0.000276	0.002106
35	7.1	895	89500	13.1028	248.5	0.0002485	0.001897

**Tabel pengukuran nilai efisiensi kulit terong ungu dan TiO<sub>2</sub> yang terstabilkan hari ke 1 (pH 6)**

V (mV)	I (μA)	lux	Lux	P <sub>in</sub> (mwatt/cm <sup>2</sup> )	P <sub>out</sub> (nw)	P <sub>out</sub> (mw)	η (%)
54	1	847	84700	12.40008	54	0.000054	0.000435
53	1.5	847	84700	12.40008	79.5	7.95E-05	0.000641
52	2.1	847	84700	12.40008	109.2	0.000109	0.000881
<b>20</b>	<b>19</b>	<b>847</b>	<b>84700</b>	<b>12.40008</b>	<b>380</b>	<b>0.00038</b>	<b>0.003064</b>

**Tabel pengukuran nilai efisiensi kulit terong ungu dan TiO<sub>2</sub> yang terstabilkan hari ke 1 (pH 8)**

V (mV)	I (μA)	lux	Lux	P <sub>in</sub> (mwatt/cm <sup>2</sup> )	P <sub>out</sub> (nw)	P <sub>out</sub> (mw)	η (%)
113	2.7	819	81900	11.99016	305.1	0.000305	0.002545
93	7	819	81900	11.99016	651	0.000651	0.005429
89	10.4	819	81900	11.99016	925.6	0.000926	0.00772
<b>59</b>	<b>28.9</b>	<b>819</b>	<b>81900</b>	<b>11.99016</b>	<b>1705.1</b>	<b>0.001705</b>	<b>0.014221</b>
50	33.2	819	81900	11.99016	1660	0.00166	0.013845

**Tabel pengukuran nilai efisiensi kulit terong ungu dan TiO<sub>2</sub> yang terstabilkan hari ke-2 (pH 0)**

V (mV)	I (μA)	lux	Lux	P <sub>in</sub> (mwatt/cm <sup>2</sup> )	P <sub>out</sub> (nw)	P <sub>out</sub> (mw)	η (%)
30	0.2	350	35000	5.124	6	0.000006	0.000117096
20	0.3	350	35000	5.124	6	0.000006	0.000117096
<b>16</b>	<b>0.6</b>	<b>350</b>	<b>35000</b>	<b>5.124</b>	<b>9.6</b>	<b>0.0000096</b>	<b>0.000187354</b>
10	0.8	350	35000	5.124	8	0.000008	0.000156128

**Tabel pengukuran nilai efisiensi kulit terong ungu dan TiO<sub>2</sub> yang terstabilkan hari ke-2 (pH 2)**

V (mV)	I (μA)	lux	Lux	P <sub>in</sub> (mwatt/cm <sup>2</sup> )	P <sub>out</sub> (nw)	P <sub>out</sub> (mw)	η (%)
56	0.3	339	33900	4.96296	16.8	0.0000168	0.000339
40	1.6	339	33900	4.96296	64	0.000064	0.00129
<b>38</b>	<b>1.7</b>	<b>339</b>	<b>33900</b>	<b>4.96296</b>	<b>64.6</b>	<b>0.0000646</b>	<b>0.001302</b>
35	1.9	339	33900	4.96296	66.5	0.0000665	0.00134
33	1.8	339	33900	4.96296	59.4	0.0000594	0.001197

**Tabel pengukuran nilai efisiensi kulit terong ungu dan TiO<sub>2</sub> yang terstabilkan hari ke-2 (pH 4)**

V (mV)	I (μA)	lux	Lux	P <sub>in</sub> (mwatt/cm <sup>2</sup> )	P <sub>out</sub> (nw)	P <sub>out</sub> (mw)	η (%)
36	1.2	350	35000	5.124	43.2	0.0000432	0.000843
28	5.5	350	35000	5.124	154	0.000154	0.003005
<b>26</b>	<b>6.7</b>	<b>350</b>	<b>35000</b>	<b>5.124</b>	<b>174.2</b>	<b>0.0001742</b>	<b>0.0034</b>
22	7.6	350	35000	5.124	167.2	0.0001672	0.003263

Tabel pengukuran nilai efisiensi kulit terong ungu dan TiO<sub>2</sub> yang terstabilkan hari ke-2 (pH 6)

V (mV)	I (μA)	lux	Lux	P <sub>in</sub> (mwatt/cm <sup>2</sup> )	P <sub>out</sub> (nw)	P <sub>out</sub> (mw)	η (%)
44	0.8	586	58600	8.57904	35.2	0.0000352	0.00041
43	0.9	586	58600	8.57904	38.7	0.0000387	0.000451
36	1.3	586	58600	8.57904	46.8	0.0000468	0.000546
<b>34</b>	<b>1.5</b>	<b>586</b>	<b>58600</b>	<b>8.57904</b>	<b>51</b>	<b>0.000051</b>	<b>0.000594</b>
30	1.6	586	58600	8.57904	48	0.000048	0.00056

Tabel pengukuran nilai efisiensi kulit terong ungu dan TiO<sub>2</sub> yang terstabilkan hari ke-2 (pH 8)

V (mV)	I (μA)	lux	Lux	P <sub>in</sub> (mwatt/cm <sup>2</sup> )	P <sub>out</sub> (nw)	P <sub>out</sub> (mw)	η (%)
31	0.8	586	58600	8.57904	24.8	0.0000248	0.000289
30	0.9	586	58600	8.57904	27	0.000027	0.000315
<b>15</b>	<b>2</b>	<b>586</b>	<b>58600</b>	<b>8.57904</b>	<b>30</b>	<b>0.00003</b>	<b>0.00035</b>
13	2.3	586	58600	8.57904	29.9	0.0000299	0.000349

Tabel pengukuran nilai efisiensi kulit terong ungu dan TiO<sub>2</sub> yang terstabilkan hari ke-3 (pH 0)

V (mV)	I (μA)	lux	Lux	P <sub>in</sub> (mwatt/cm <sup>2</sup> )	P <sub>out</sub> (nw)	P <sub>out</sub> (mw)	η (%)
44	0.9	798	79800	11.68272	39.6	0.0000396	0.000339
43	1	798	79800	11.68272	43	0.000043	0.000368
39	1.6	798	79800	11.68272	62.4	0.0000624	0.000534
<b>33</b>	<b>3.1</b>	<b>798</b>	<b>79800</b>	<b>11.68272</b>	<b>102.3</b>	<b>0.0001023</b>	<b>0.000876</b>
30	3.2	798	79800	11.68272	96	0.000096	0.000822

Tabel pengukuran nilai efisiensi kulit terong ungu dan TiO<sub>2</sub> yang terstabilkan hari ke-3 (pH 2)

V (mV)	I (μA)	lux	Lux	P <sub>in</sub> (mwatt/cm <sup>2</sup> )	P <sub>out</sub> (nw)	P <sub>out</sub> (mw)	η (%)
53	1.4	802	80200	11.74128	74.2	0.0000742	0.000632
52	1.7	802	80200	11.74128	88.4	0.0000884	0.000753
50	2.1	802	80200	11.74128	105	0.000105	0.000894
<b>25</b>	<b>9.6</b>	<b>802</b>	<b>80200</b>	<b>11.74128</b>	<b>240</b>	<b>0.00024</b>	<b>0.002044</b>

**Tabel pengukuran nilai efisiensi kulit terong ungu dan TiO<sub>2</sub> yang terstabilkan hari ke-3 (pH 4)**

V (mV)	I (μA)	lux	Lux	P <sub>in</sub> (mwatt/cm <sup>2</sup> )	P <sub>out</sub> (nw)	P <sub>out</sub> (mw)	η (%)
41	0.9	734	73400	10.74576	36.9	0.0000369	0.000343
40	1.2	734	73400	10.74576	48	0.000048	0.000447
39	1.5	734	73400	10.74576	58.5	0.0000585	0.000544
<b>18</b>	<b>8.5</b>	<b>734</b>	<b>73400</b>	<b>10.74576</b>	<b>153</b>	<b>0.000153</b>	<b>0.001424</b>
12	7.9	734	73400	10.74576	94.8	0.0000948	0.000882

**Tabel pengukuran nilai efisiensi kulit terong ungu dan TiO<sub>2</sub> yang terstabilkan hari ke-3 (pH 6)**

V (mV)	I (μA)	lux	Lux	P <sub>in</sub> (mwatt/cm <sup>2</sup> )	P <sub>out</sub> (nw)	P <sub>out</sub> (mw)	η (%)
86	1.8	758	76800	11.24352	154.8	0.000155	0.001377
85	2.4	758	76800	11.24352	204	0.000204	0.001814
<b>72</b>	<b>14.6</b>	<b>758</b>	<b>76800</b>	<b>11.24352</b>	<b>1051.2</b>	<b>0.001051</b>	<b>0.009349</b>
56	15.8	758	76800	11.24352	884.8	0.000885	0.007869

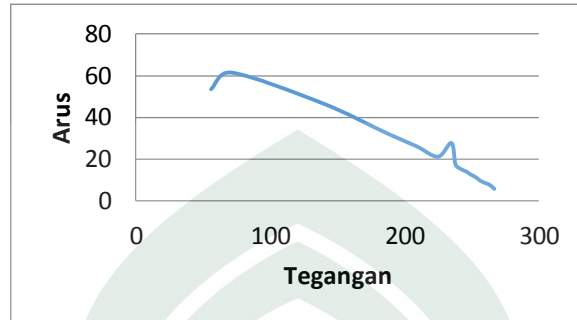
**Tabel pengukuran nilai efisiensi kulit terong ungu dan TiO<sub>2</sub> yang terstabilkan hari ke-3 (pH 8)**

V (mV)	I (μA)	lux	Lux	P <sub>in</sub> (mwatt/cm <sup>2</sup> )	P <sub>out</sub> (nw)	P <sub>out</sub> (mw)	η (%)
88	1.8	758	75800	11.09712	158.4	0.000158	0.001427
86	3.4	758	75800	11.09712	292.4	0.000292	0.002635
71	12	758	75800	11.09712	852	0.000852	0.007678
<b>63</b>	<b>19.6</b>	<b>758</b>	<b>75800</b>	<b>11.09712</b>	<b>1234.8</b>	<b>0.001235</b>	<b>0.011127</b>
61	19.9	758	75800	11.09712	1213.9	0.001214	0.010939

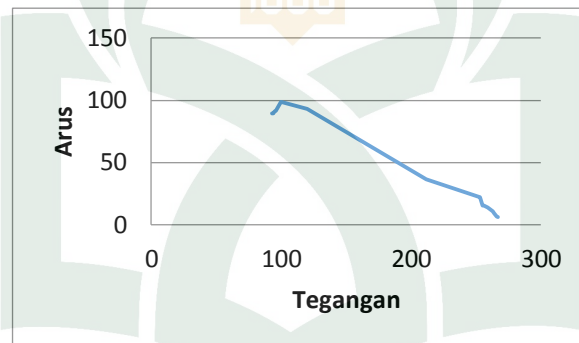
M A K A S S A R

#### LAMPIRAN 4: Grafik Nilai Efisiensi Ekstrak Metanol Kulit Terong Ungu

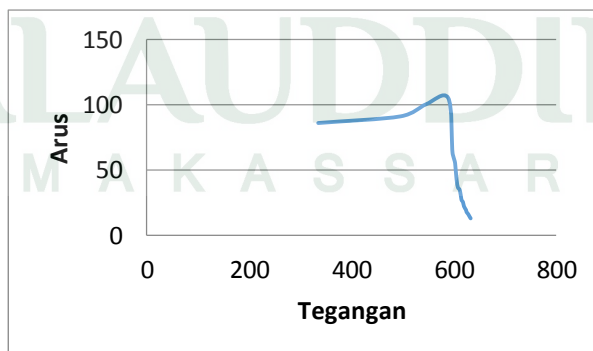
Grafik Nilai Efisiensi Ekstrak Kulit Terong Ungu



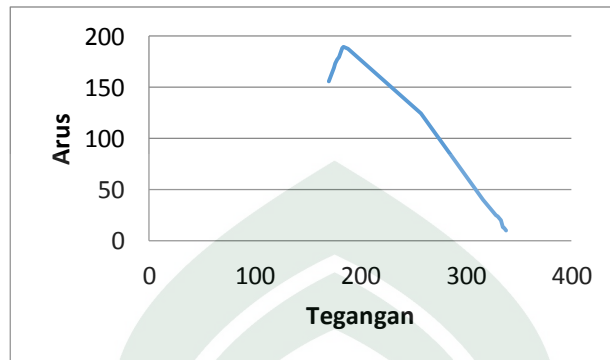
Grafik Nilai Efisiensi Ekstrak Metanol Kulit Terong Ungu yang Trstabilkan hari ke-1 (pH 0)



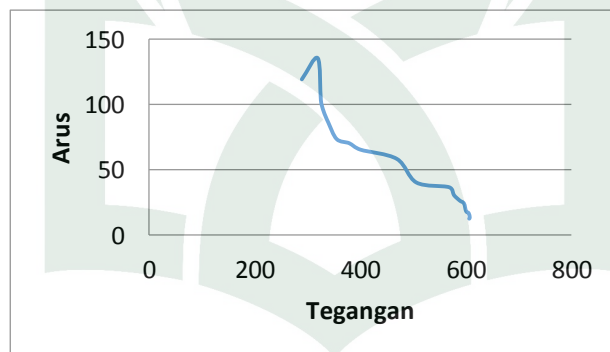
Grafik Nilai Efisiensi Ekstrak Metanol Kulit Terong Ungu yang Trstabilkan hari ke-1 (pH 2)



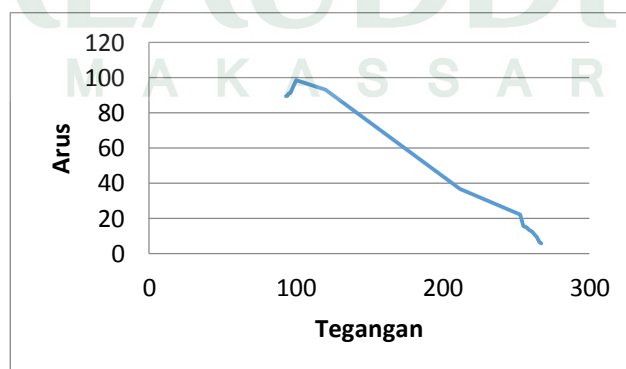
**Grafik Nilai Efisiensi Ekstrak Metanol Kulit Terong Ungu yang Trstabilkan hari ke-1 (pH 4)**



**Grafik Nilai Efisiensi Ekstrak Metanol Kulit Terong Ungu yang Trstabilkan hari ke-1 (pH 6)**

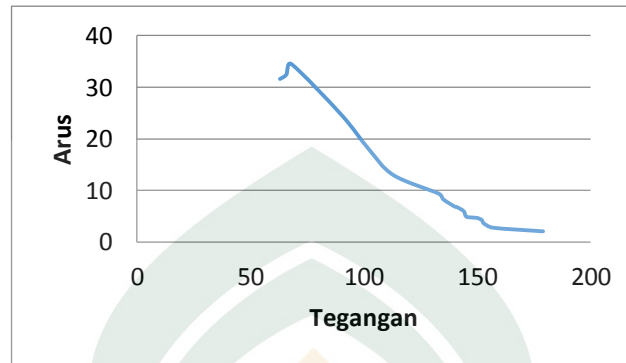


**Grafik Nilai Efisiensi Ekstrak Metanol Kulit Terong Ungu yang Trstabilkan hari ke-1 (pH 8)**

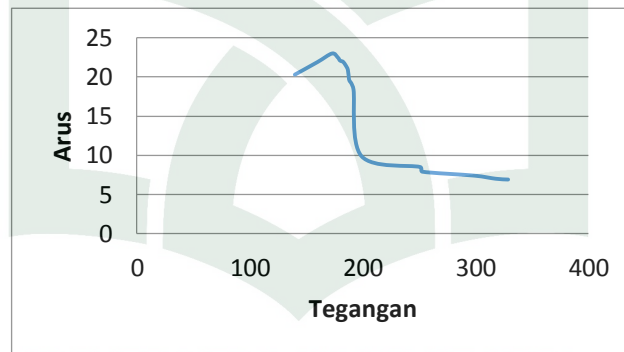




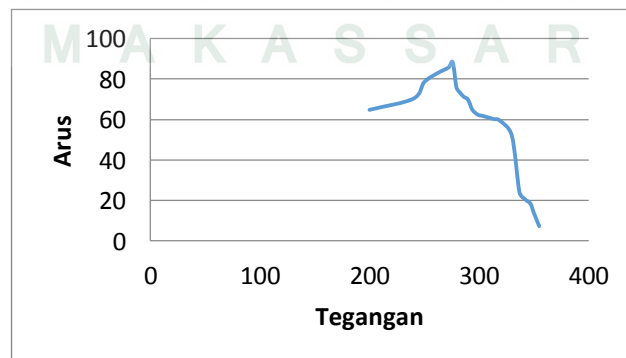
**Grafik Nilai Efisiensi Ekstrak Metanol Kulit Terong Ungu yang Trstabilkan hari ke-2 (pH 0)**



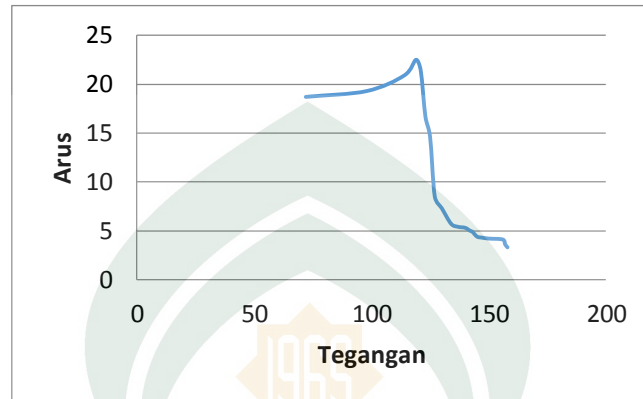
**Grafik Nilai Efisiensi Ekstrak Metanol Kulit Terong Ungu yang Trstabilkan hari ke-2 (pH 2)**



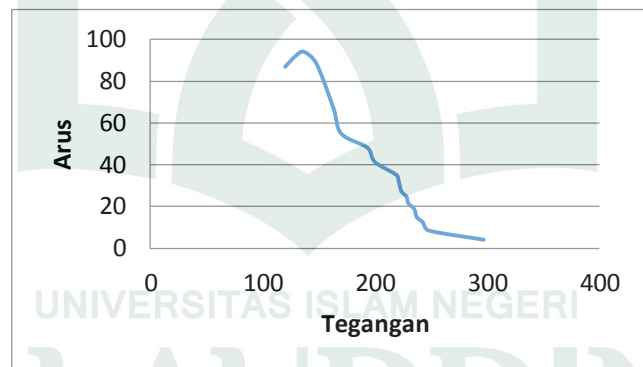
**Grafik Nilai Efisiensi Ekstrak Metanol Kulit Terong Ungu yang Trstabilkan hari ke-2 (pH 4)**



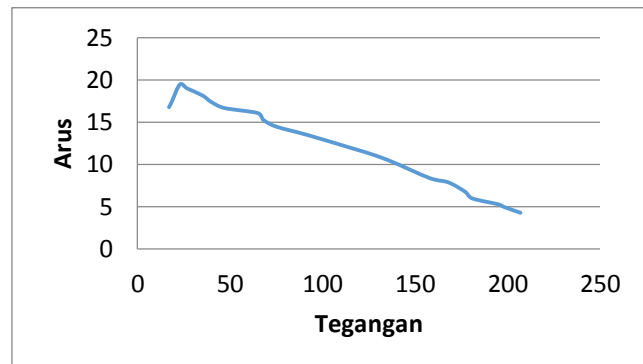
**Grafik Nilai Efisiensi Ekstrak Metanol Kulit Terong Ungu yang Trstabilkan hari ke-2 (pH 6)**



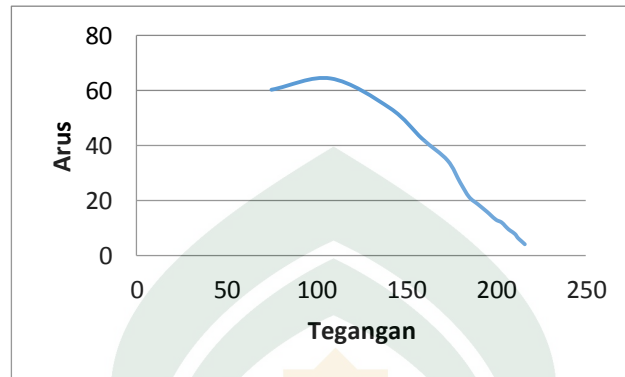
**Grafik Nilai Efisiensi Ekstrak Metanol Kulit Terong Ungu yang Trstabilkan hari ke-2 (pH 8)**



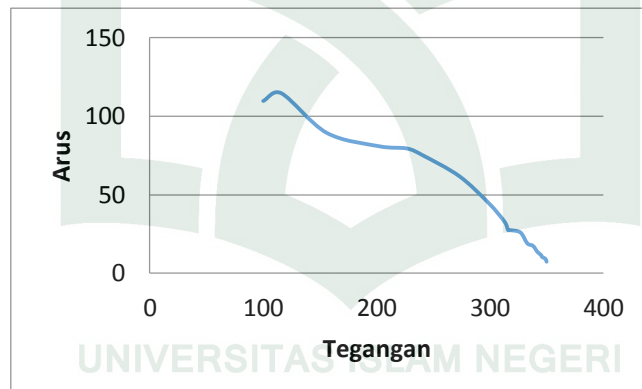
**Grafik Nilai Efisiensi Ekstrak Metanol Kulit Terong Ungu yang Trstabilkan hari ke-3 (pH 0)**



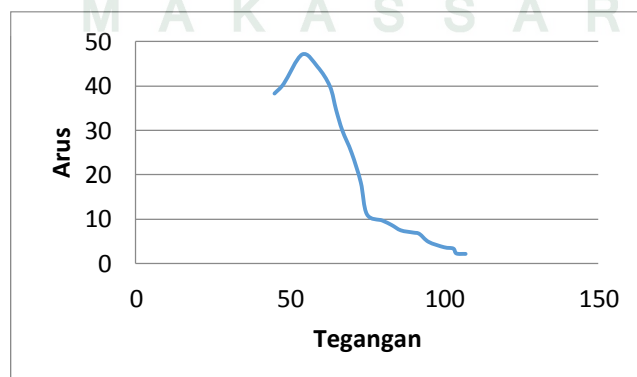
**Grafik Nilai Efisiensi Ekstrak Metanol Kulit Terong Ungu yang Trstabilkan hari ke-3 (pH 2)**



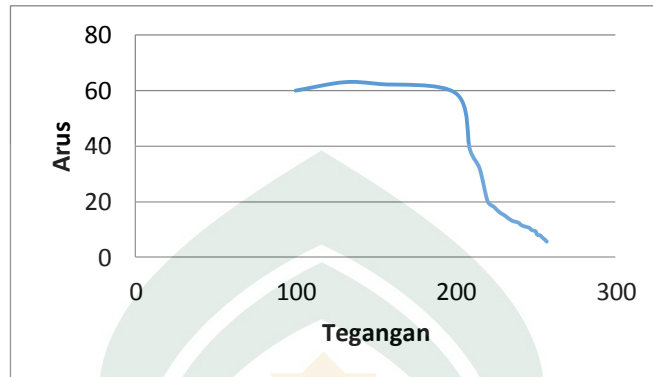
**Grafik Nilai Efisiensi Ekstrak Metanol Kulit Terong Ungu yang Trstabilkan hari ke-3 (pH 4)**



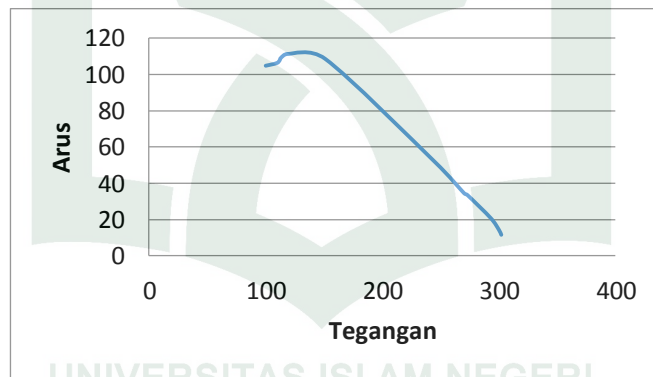
**Grafik Nilai Efisiensi Ekstrak Metanol Kulit Terong Ungu yang Trstabilkan hari ke-3 (pH 6)**



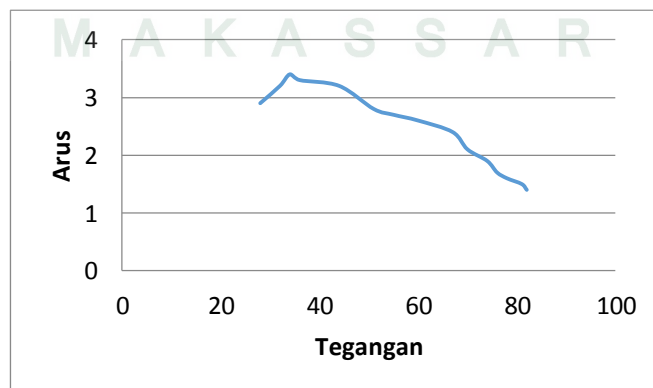
**Grafik Nilai Efisiensi Ekstrak Metanol Kulit Terong Ungu yang Trstabilkan hari ke-3  
(pH 8)**



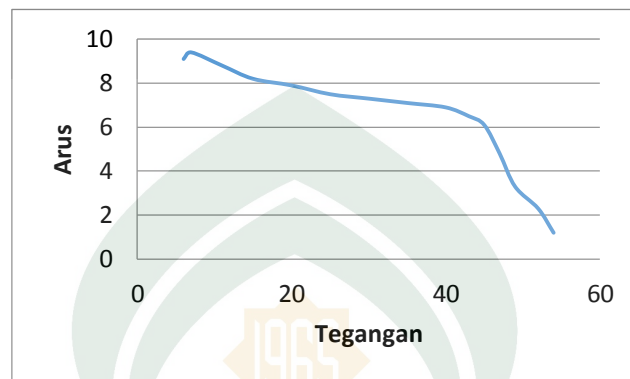
**Grafik Nilai Efisiensi Ekstrak Kulit Terong Ungu dan TiO<sub>2</sub> yang Trstabilkan hari ke-1  
(pH 0)**



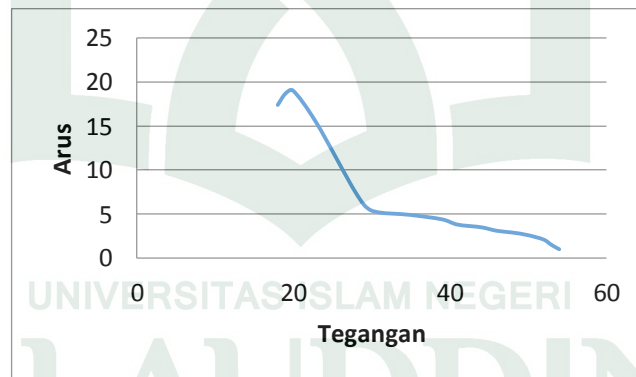
**Grafik Nilai Efisiensi Ekstrak Kulit Terong Ungu dan TiO<sub>2</sub> yang Trstabilkan hari ke-1  
(pH 2)**



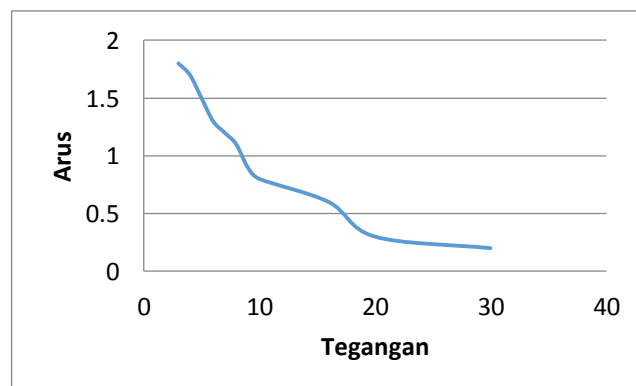
**Grafik Nilai Efisiensi Ekstrak Kulit Terong Ungu dan TiO<sub>2</sub> yang Trstabilkan hari ke-1 (pH 4)**



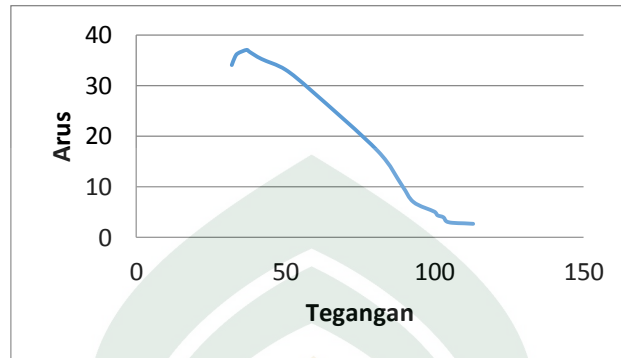
**Grafik Nilai Efisiensi Ekstrak Kulit Terong Ungu dan TiO<sub>2</sub> yang Trstabilkan hari ke-1 (pH 6)**



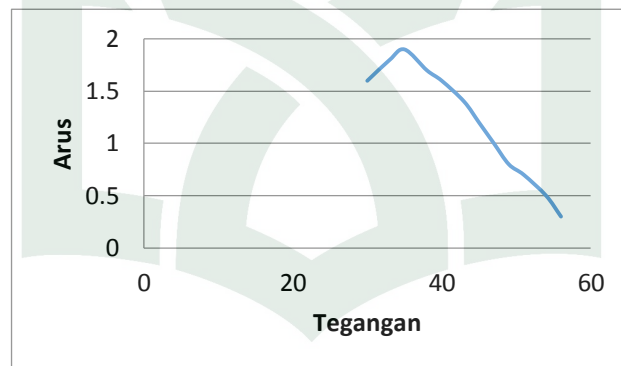
**Grafik Nilai Efisiensi Ekstrak Kulit Terong Ungu dan TiO<sub>2</sub> yang Trstabilkan hari ke-1 (pH 8)**



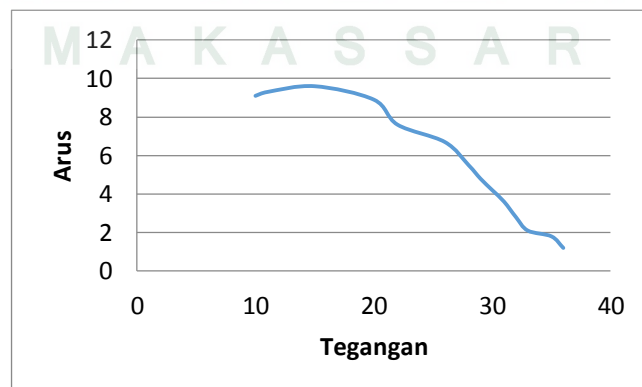
**Grafik Nilai Efisiensi Ekstrak Kulit Terong Ungu dan TiO<sub>2</sub> yang Trstabilkan hari ke-2 (pH 0)**



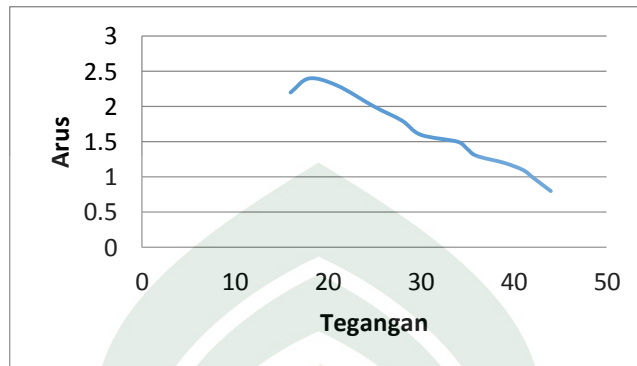
**Grafik Nilai Efisiensi Ekstrak Kulit Terong Ungu dan TiO<sub>2</sub> yang Trstabilkan hari ke-2 (pH 2)**



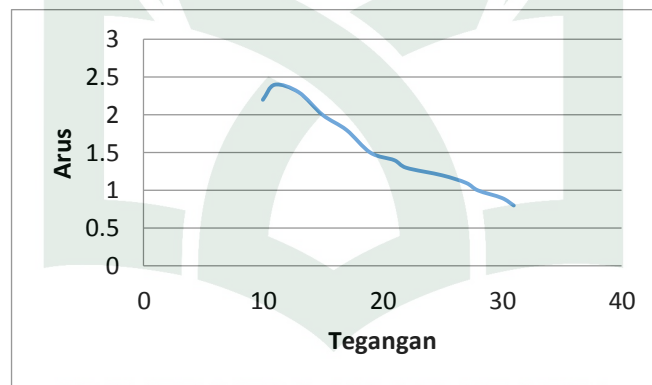
**Grafik Nilai Efisiensi Ekstrak Kulit Terong Ungu dan TiO<sub>2</sub> yang Trstabilkan hari ke-2 (pH 4)**



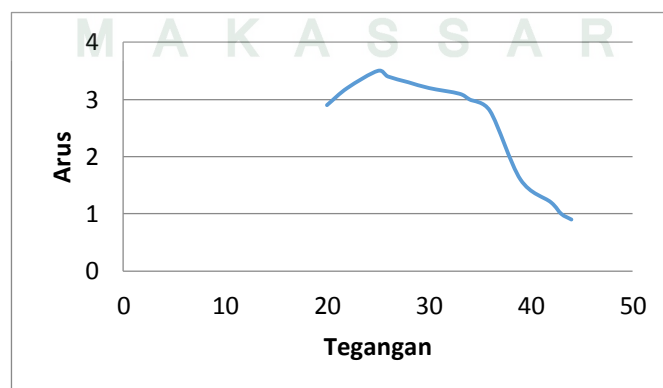
**Grafik Nilai Efisiensi Ekstrak Kulit Terong Ungu dan TiO<sub>2</sub> yang Trstabilkan hari ke-2 (pH 6)**



**Grafik Nilai Efisiensi Ekstrak Kulit Terong Ungu dan TiO<sub>2</sub> yang Trstabilkan hari ke-2 (pH 8)**

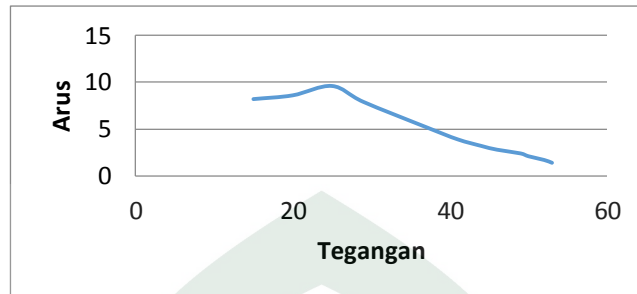


**Grafik Nilai Efisiensi Ekstrak Kulit Terong Ungu dan TiO<sub>2</sub> yang Trstabilkan hari ke-3 (pH 0)**

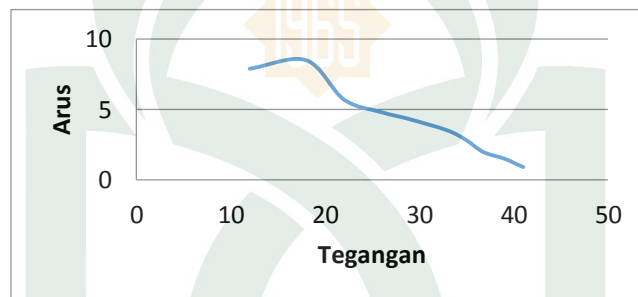




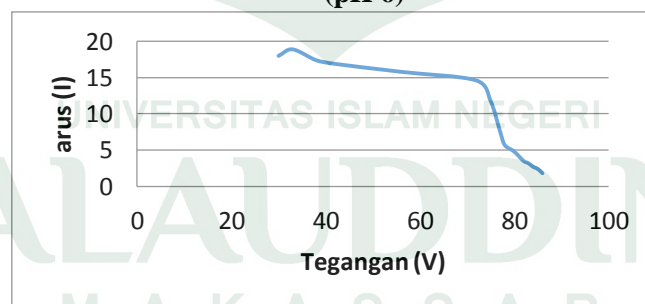
**Grafik Nilai Efisiensi Ekstrak Kulit Terong Ungu dan TiO<sub>2</sub> yang Trstabilkan hari ke-3 (pH 2)**



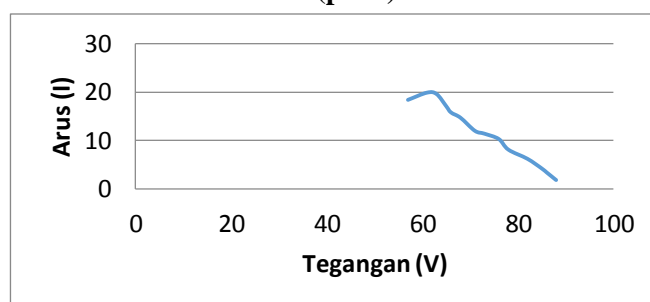
**Grafik Nilai Efisiensi Ekstrak Kulit Terong Ungu dan TiO<sub>2</sub> yang Trstabilkan hari ke-3 (pH 4)**



**Grafik Nilai Efisiensi Ekstrak Kulit Terong Ungu dan TiO<sub>2</sub> yang Trstabilkan hari ke-3 (pH 6)**



**Grafik Nilai Efisiensi Ekstrak Kulit Terong Ungu dan TiO<sub>2</sub> yang Trstabilkan hari ke-3 (pH 8)**



**LAMPIRAN 5: GAMBAR****Preparasi sampel**

Terong ungu



Kulit terong ungu basa



Kulit terong ungu kering



Kulit terong ungu yang telah dihaluskan



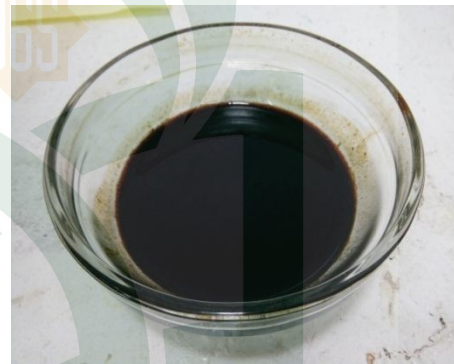
Proses Maserasi



Hasil maserasi



Proses evaporasi



Hasil maserasi (Ekstrak Kental)



Proses kestabilan pH

### Pembuatan larutan elektrolit



Kalium Iodida



Iod

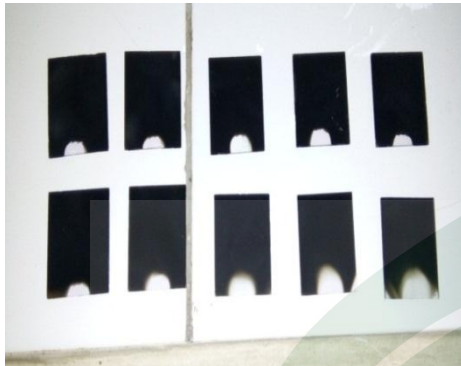
### Pembuatan blok kopolimer



Polivinil Alkohol



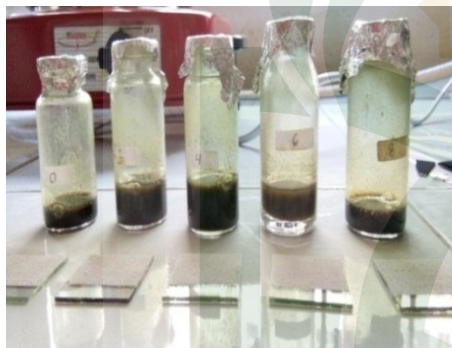
## Proses Pengukuran Efisiensi



Pembuatan Karbon



Proses sintering  $\text{TiO}_2$



Ekstrak dengan Pengaturan ph



Kaca yang diolesi dengan dye



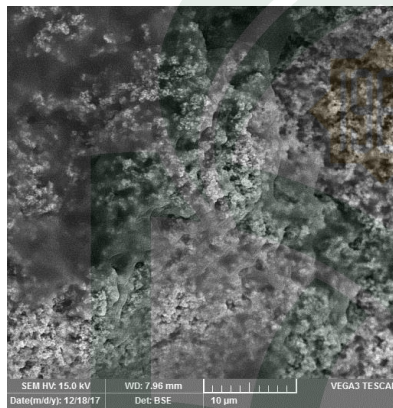
Rangkain DSSC



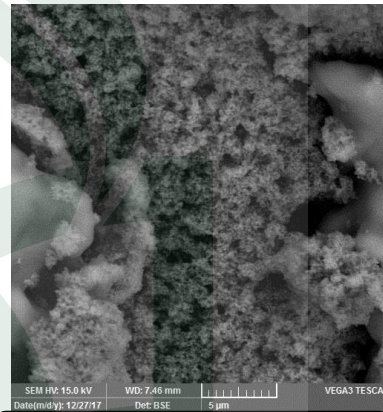
Pengukuran DSSC



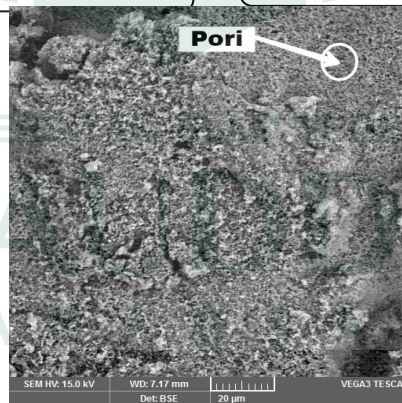
Uji fitokimia



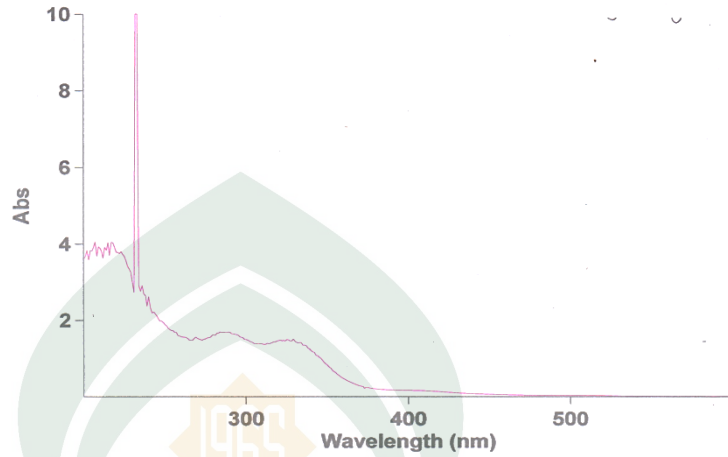
Analisis SEM TiO<sub>2</sub> dan dye



Analisis SEM TiO<sub>2</sub> PVA



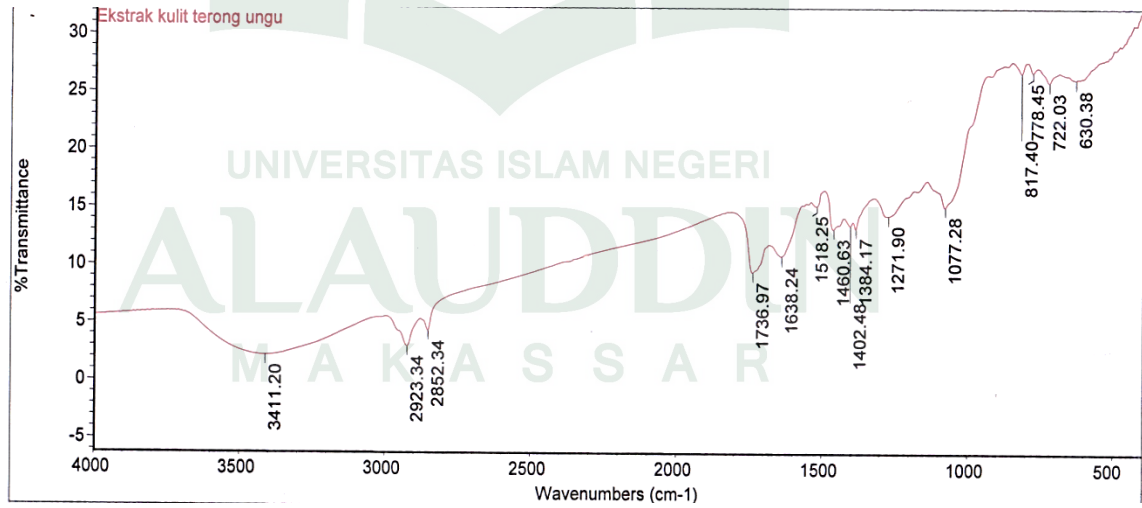
Analisis SEM TiO<sub>2</sub> biasa



**Scan Analysis Report**

Report Time : Thu 11 Mar 12:05:19 AM 2010  
 Method:  
 Batch:  
 Software version: 3.00(339)  
 Operator:

Analisis UV-Vis



Analisis FTIR



## BIOGRAFI



**HALISA** lahir di Sebatik, Kabupaten Nunukan Kalimantan Utara pada tanggal 26 Oktober 1994, anak ketiga dari delapan bersaudara. Terlahir dari pasangan **Herman dan Hj. Saharia**. Penulis memulai jenjang pendidikan sekolah dasar di SDN 008 Binalawan pada tahun 2001 selama 6 tahun. Selanjutnya melanjutkan pendidikan SMPN 01 Sebatik Barat pada tahun 2007.

Kemudian penulis melanjutkan pendidikan sekolah Menengah Atas di SMAN 01 Nunukan Selatan pada tahun 2010 dan berhasil lulus pada tahun 2013. Pada tahun yang sama penulis harus meninggalkan keluarga dan melintasi pulau demi melanjutkan pendidikan kejenjang sarjana, dan tepatnya di Jurusan Kimia Fakultas Sains dan Teknologi Universitas Islam Negeri Alauddin Makassar selama hampir 5 tahun. Penulis juga aktif di beberapa organisasi ekstra maupun intra. Pada organisasi intra penulis pernah menjabat sebagai Koordinator Divisi Pengkaderan di Himpunan Mahasiswa Jurusan (HMJ) Kimia dan pada organisasi ekstra pernah menjabat sebagai Koordinator Bina Kemuslimahan (BKM) dan sebagai Bendahara Umum di Kesatuan Aksi Mahasiswa Muslim Indonesia (KAMMI). Penulis Alhamdulillah berhasil menyelesaikan pendidikan sarjana pada bulan Maret tahun 2018.